

UNIVERSITATEA BABES-BOLYAI

Facultatea de Chimie si Inginerie Chimica

Contribuții la Chimia Compușilor Calcogen-organici

Rezumatul tezei de doctorat

Pöllnitz Alpár Zoltán

**Conducător științific:
Prof. Dr. CRISTIAN SILVESTRU**

**Cluj-Napoca
2011**

Comisia

Președinte: Prof. Dr. Luminita Silaghi-Dumitrescu Universitatea Babes-Bolyai

Referent: Prof. Dr. Marius Andruh Universitatea Bucuresti

Referent: Prof. Dr. Jean-Francois Carpentier Universitatea Babes-Bolyai

Referent: Prof. Dr. Ion Grosu Universitatea Rennes 1

Data sustinerii: 22 iunie 2011

Continut

Abrevieri, acronime si simboluri	5
1. Introducere	6
2. Date de literatura	10
2.1. Componenți seleniu-organici cu coordinare intramoleculară	11
2.1.1. Componenți diorgao-diseleniu(I), R-Se-Se-R	11
2.1.1.1. Preparare.....	14
2.1.1.2. Spectroscopie RMN.....	16
2.1.1.3. Spectroscopie IR	17
2.1.1.4. Difracție de raze X pe monocrystal.....	17
2.1.2. Halogenuri seleniu-organice.....	21
2.1.2.1. Preparare.....	23
2.1.2.2. Spectroscopie RMN.....	24
2.1.2.3. Spectroscopie IR	25
2.1.2.4. Difracție de raze X pe monocrystal.....	25
2.2. Selenolati de metale	28
2.2.1. Precursori seleniu-organici.....	28
2.2.1.1. Preparare.....	29
2.2.1.2. Spectroscopie RMN.....	31
2.2.1.3. Difracție de raze X pe monocrystal.....	32
2.2.2. Selenolati ai metalelor din grupa 4	36
2.2.2.1. Preparare.....	37
2.2.2.2. Spectroscopie RMN.....	40
2.2.2.3. Difracție de raze X pe monocrystal.....	41
2.2.3. Selenolati ai metalelor din grupa 12	43
2.2.3.1. Preparare.....	45
2.2.3.2. Spectroscopie RMN.....	46
2.2.3.3. Difracție de raze X pe monocrystal.....	47
3. Contribuții originale	50
3.1. Aspecte generale	51
3.2. Componenți diorgao-diseleniu(I), R-Se-Se-R	52
3.2.1. Preparare	52
3.2.2. Spectroscopie RMN.....	55
3.2.3. Spectroscopie IR	57
3.2.4. Difracție de raze X pe monocrystal.....	58
3.3. Halogenuri seleniu-organice	63
3.3.1. Preparare	63
3.3.2. Spectroscopie RMN.....	63
3.3.3. Difracție de raze X pe monocrystal.....	66
3.3.4. Calcule teoretice	74
3.4. Selenolati de metale	77
3.4.1. Precursori seleniu-organici.....	77
3.4.1.1. Preparare	77

3.4.1.2. Spectroscopie RMN	79
3.4.2. Selenolati de zirconiu	83
3.4.2.1. Preparare.....	83
3.4.2.2. Spectroscopie RMN	84
3.4.2.3. Selenolati ai metalelor din grupa 12	85
3.4.3.1. Preparare	85
3.4.3.2. Spectroscopie RMN	87
3.4.3.3. Spectrometrie de masa	91
3.4.3.4. Spectroscopie IR	93
3.4.3.5. Difractie de raze X pe monocristal	93
3.5. Produsi organici de cuplare obtinuti accidental	102
3.5.1. Preparare.....	102
3.5.2. Spectroscopie RMN.....	103
3.5.3. Spectrometrie de masa	104
3.5.4. Difractie de raze X pe monocristal.....	105
4. Partea experimentală	107
4.1. Materiale si proceduri.....	108
4.2. Compusi diorgano-diseleniu (I).....	110
4.2.1. Prepararea a [2-(Me ₂ NCH ₂)C ₆ H ₄]Li (1)	110
4.2.2. Prepararea a [2-(Me ₂ NCH ₂)C ₆ H ₄] ₂ Se ₂ (2)	110
4.2.3. Prepararea a [2-(Et ₂ NCH ₂)C ₆ H ₄]Br (3)	111
4.2.4. Prepararea a [2-(Et ₂ NCH ₂)C ₆ H ₄]Li (4)	111
4.2.5. Prepararea a [2-(Et ₂ NCH ₂)C ₆ H ₄] ₂ Se ₂ (5)	112
4.2.6. Prepararea a [2-(ⁱ Pr ₂ NCH ₂)C ₆ H ₄]Br (6)	113
4.2.7. Prepararea a [2-(ⁱ Pr ₂ NCH ₂)C ₆ H ₄] ₂ Se ₂ (7)	114
4.2.8. Prepararea a [2-{(CH ₂ O) ₂ CH }C ₆ H ₄]Li (8).....	115
4.2.9. Prepararea a [2-{ (CH ₂ O) ₂ CH }C ₆ H ₄] ₂ Se ₂ (9).....	115
4.2.10. Prepararea a [2-{OCH}C ₆ H ₄] ₂ Se ₂ (10)	116
4.2.11. Prepararea a [2-{PhCH ₂ NCH}C ₆ H ₄] ₂ Se ₂ (11)	117
4.2.12. Prepararea a [{(2,6- ⁱ Pr ₂ C ₆ H ₄)NCH}C ₆ H ₄] ₂ Se ₂ (12)	118
4.2.13. Prepararea a [2-{OCH ₂ CH ₂ N(CH ₂) ₂ NCH}C ₆ H ₄] ₂ Se ₂ (13)	119
4.2.14. Prepararea a [2-{Me ₂ N(CH ₂) ₂ NCH}C ₆ H ₄] ₂ Se ₂ (14).....	120
4.3. Halogenuri seleniu-organice	121
4.3.1. Prepararea a [2-(Et ₂ NCH ₂)C ₆ H ₄]SeCl (15).....	121
4.3.2. Prepararea a [2-(Et ₂ NCH ₂)C ₆ H ₄]SeBr (16)	122
4.3.3. Prepararea a [2-(Et ₂ NCH ₂)C ₆ H ₄]Sel (17).....	123
4.4. Selenolati de metale	124
4.4.1. Precursori seleniu-organici.....	124
4.4.1.1. Prepararea a [2-(Me ₂ NCH ₂)C ₆ H ₄]SeNa (18).....	124
4.4.1.2. Prepararea a [2-(Me ₂ NCH ₂)C ₆ H ₄]SeSiMe ₃ (19)	125
4.4.1.3. Prepararea a [2-(Et ₂ NCH ₂)C ₆ H ₄]SeNa (20).....	126
4.4.1.4. Prepararea a [{2-(PhCH ₂ NCH)C ₆ H ₄ }Se]K (21).....	127
4.4.1.5. Prepararea a {2-[(2,4- ⁱ Pr ₂ C ₆ H ₄)NCH]C ₆ H ₄ }SeNa (22).....	128
4.4.2. Selenolati de zirconiu	129

4.4.2.1.	Prepararea a $\{[2-(\text{PhCH}_2\text{NCH})\text{C}_6\text{H}_4]\text{Se}\}_2\text{ZrCp}_2$ (23)	129
4.4.2.2.	Prepararea a $\{[(2,6-\text{iPr}_2\text{C}_6\text{H}_4)\text{NCH}]\text{C}_6\text{H}_4\text{Se}\}_2\text{ZrCp}_2$ (24)	130
4.4.3.	Selenolati ai metalelor din grupa 12	131
4.4.3.1.	Prepararea a $[2-(\text{Me}_2\text{NCH}_2)\text{C}_6\text{H}_4\text{Se}]_2\text{Zn}$ (25)	131
4.4.3.2.	Prepararea a $[2-(\text{Me}_2\text{NCH}_2)\text{C}_6\text{H}_4\text{Se}]_2\text{Cd}$ (26)	132
4.4.3.3.	Prepararea a $[2-(\text{Et}_2\text{NCH}_2)\text{C}_6\text{H}_4\text{Se}]_2\text{Zn}$ (27)	133
4.4.3.4.	Prepararea a $[2-(\text{Et}_2\text{NCH}_2)\text{C}_6\text{H}_4\text{Se}]_2\text{Cd}$ (28)	134
4.4.3.5.	Prepararea a $\{[2-(\text{PhCH}_2\text{NCH})\text{C}_6\text{H}_4]\text{Se}\}_2\text{Zn}$ (29)	135
4.4.3.6.	Prepararea a $\{[(2,6-\text{iPr}_2\text{C}_6\text{H}_4)\text{NCH}]\text{C}_6\text{H}_4\text{Se}\}_2\text{Zn}$ (30)	136
4.5.	Produsi organici de cuplare obtinuti accidental	138
4.5.1.	Prepararea a $9,10-[(\text{2,6-iPr}_2\text{C}_6\text{H}_4)\text{NH}]_2-9',10'-\text{H}_2\text{-C}_{14}\text{H}_8$ (31)	138
4.5.2.	Prepararea a $9,10-[(\text{C}_6\text{H}_4\text{CH}_2)\text{NH}]_2-9',10'-\text{H}_2\text{-C}_{14}\text{H}_8$ (32)	139
5.	Concluzii	140
	Multumiri	143
	Anexe	144
	Curriculum Vitae	150

Cuvinte cheie: compusi organometalici, compusi hipervalenti, organoseleniu, coodrdinare intramoleculara

3. Contributii originale

3.1. Aspecte generale

Acest capitol prezinta contributiile aduse in domeniul compusilor seleniu-organici hipervalenti prin rezultatele cercetarilor originale efectuate pentru a elabora prezenta teza. Rezultatele obtinute pot fi grupate in trei capitole principale conform claselor de compusi abordati:

➤ **Compusi diorgano-diseleniu(I)**

Compusii din aceasta clasa au atras atentie in ultimul deceniu datorita activitatii lor biologice si a utilitatii lor in sinteza organica. Interesul nostru in acest tip de compusi este datorat utilitatii lor ca si materii prime in prepararea unor halogenuri seleniu-organice si a selenolatilor de metale.

➤ **Halogenuri seleniu-organice**

Compusii din aceasta clasa sunt reactivi folositi in chimia organica. Recent s-a publicat o sinteza care foloseste asemenea compusi pentru prepararea selenolatilor de zinc de tipul $ZnCl(SeR)^{125}$ astfel oferind noi perspective asupra obtinerii unor catalizatori de polimerizare stabili la actiunea aerului.

➤ **Selenolati de metale**

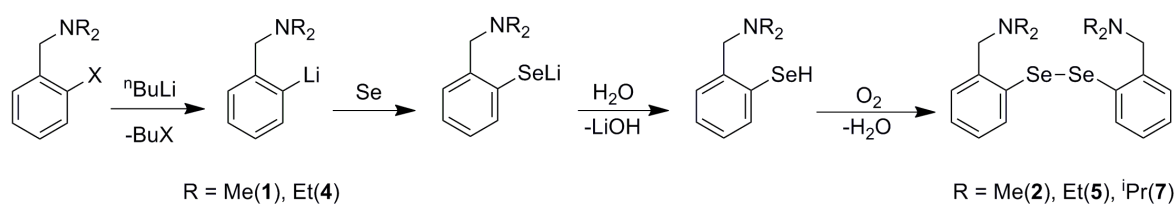
Selenolatii de Ti si Zr sunt o clasa de compusi foarte putin studiata in literatura. Aceste compusi pot fi considerati ca si catalizatori Ziegler-Natta din a treia clasa. Selenolati de tipul $(RSe)_2MCl_2$ ($M = Ti, Zr$) sunt potentiali catalizatori pentru reactia de polimerizare a 1-alchenelor.

Seleniurile de zinc- si cadmiu, depozitate ca si filme subtiri au proprietati semi-conductive. Asemenea filme pot fi obtinute prin MOCVD, metoda ce poate folosi ca si Precursori de Sursa Unica (SSP) selenolati ai metalelor din grupa 12.

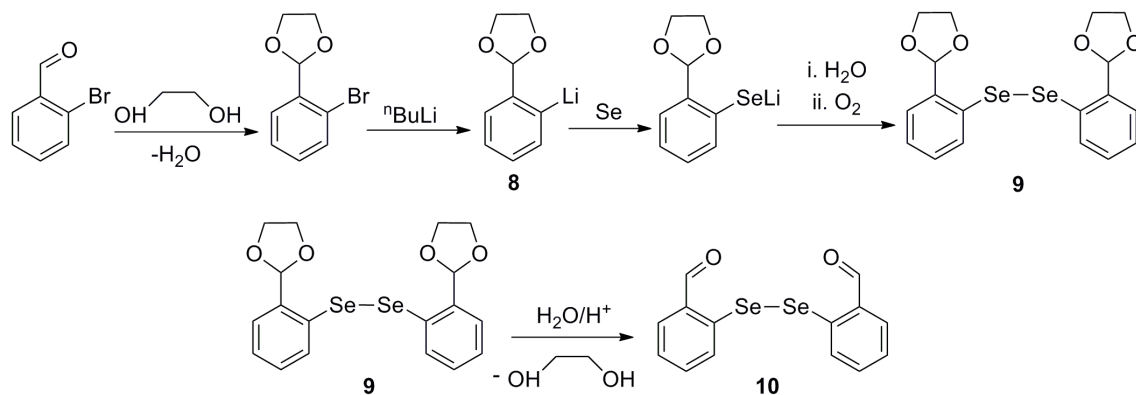
3.2. Compusi diorgano-diseleniu(I)

3.2.1. Preparare

[2-(Me₂NCH₂)C₆H₄]₂Se₂ (**2**) a fost preparat folosind o metoda descrisa in literatura.²⁰ Diseleniura noua [2-(Et₂NCH₂)C₆H₄]₂Se₂ (**5**) a fost preparata similar prin *ortho*-litierea ligandului organic urmata de reactia cu seleniu elemental a derivatului litiat [2-(Et₂NCH₂)C₆H₄]Li. Hidroliza selenolatului de litiu urmata de oxidarea aeriala a selenolului rezultat a dus la formarea diseleniurii **5**.



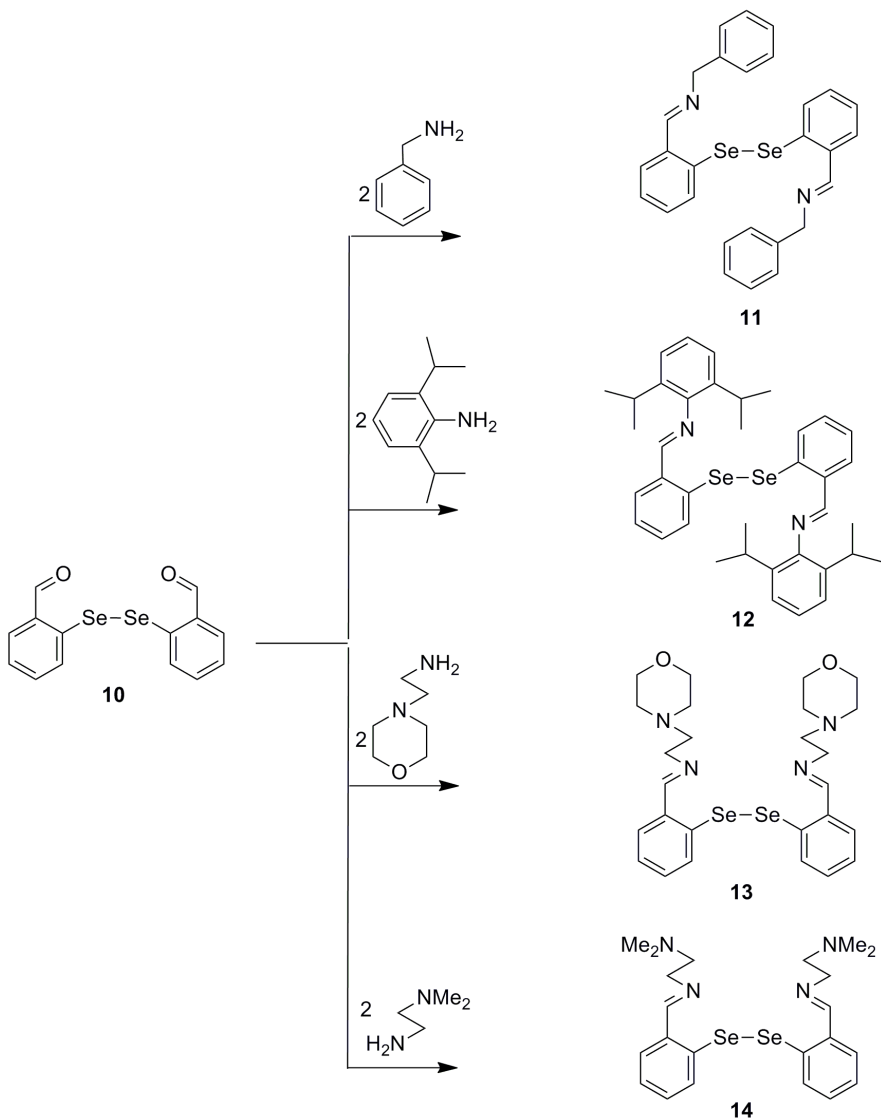
Scheme 24.



Scheme 26.

2-bromobenzaldehida a fost transformata in acetalul corespunzator folosind etilen-glicol si un sistem Dien-Stark.

Compusii **11-14** au fost obtinuti prin reactie de condensare intre aldehida **10** si aminele corespunzatoare. Nici reactia in clorura de metilen in prezenta unei sari anhidre, precum Na_2SO_4 sau refluxarea in toluen cu sau fara cataliza acida folosind un sistem nu au dus la formarea produsilor doriti. In toate cazurile materiile prime nereactionate au putut fi recuperate cantitativ. Reactiile de condensare dorite au fost efectuate cu succes in acetonitril la temperatura de reflux fara a folosi TosOH sau Na_2SO_4 .



Scheme 27.

3.2.2. Spectroscopie RMN

Spectroscopia ^1H RMN a fost folosita pentru a identifica compusii cunoscuti **2**²⁰, **3**¹²⁶, **6**¹²⁷, **9**²⁵ si **10**³⁹ care au fost raportati in prealabil in literatura. In cazul compusilor **5**, **7** si **11-14** atribuirea rezonantelor in spectrele RMN ^1H si ^{13}C au fost facute cu ajutorul spectrelor RMN 2D de corelare (HSQC, HMBC si COSY). In zona alifatica a compusului $[2-(\text{Et}_2\text{NCH}_2)\text{C}_6\text{H}_4]_2\text{Se}_2$ (**5**) putem observa prezenta unui triplet coresponzator protonilor metilici ai gruparii etil (δ 1.05 ppm), un cvartet coresponzator protonilor metilenici ai gruparii etil (δ 2.61 ppm) si un singlet datorat protonilor metilenici din bratul pendant (δ 3.72 ppm). Zona aromatica consta dintr-o

rezonanta foarte dezecranata corespunzatoare hidrogenului 6 (δ 7.79 ppm) si o rezonanta lata (δ 7.13 ppm) corespunzatoare celor trei protoni aromatici neechivalenți ramasi.

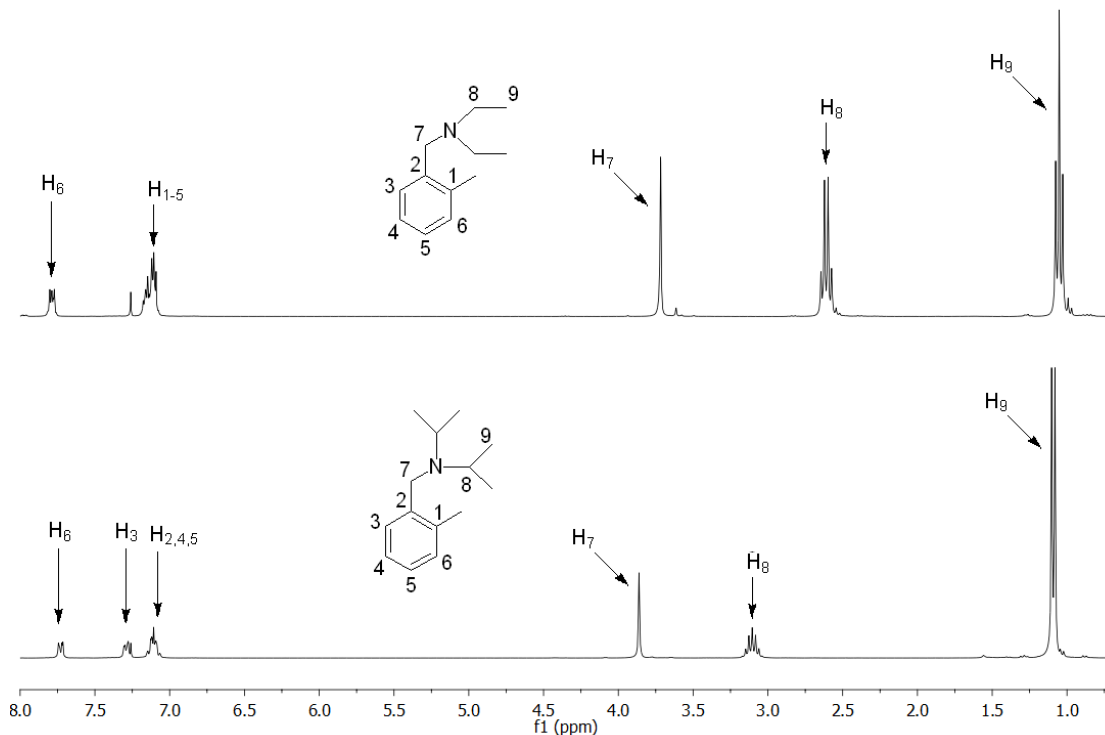


Figure 16. Spectrul ^1H RMN ai compusilor 5 (sus) si 7 (jos)

In cazul compusului 7 in zona alifatica se pot observa un heptet (δ 2.61 ppm) si un dublet (δ 1.09 ppm), rezonante atribuite gruparii *iso*-propil. Zona aromatica consta dintr-o rezonanta foarte dezecranata corespunzatoare hidrogenului 6 (δ 7.72 ppm), o rezonanta la δ 7.30 ppm care se datoreaza protonilor H_3 (Figura 16, jos) si o rezonanta multiplet (δ 7.11 ppm) corespunzatoare celor trei protoni aromatici neechivalenți ramasi.

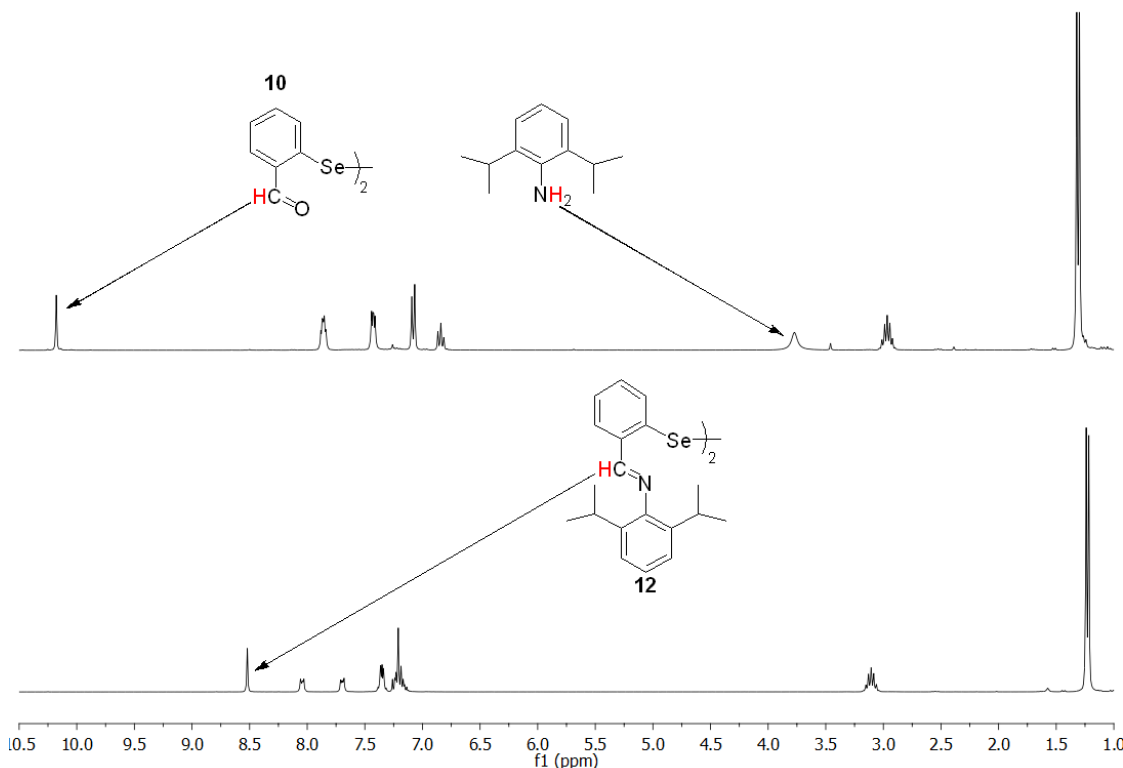


Figura 17. Spectrul ^1H RMN a produsilor reactie aldehydei **10** cu 2,6-diizopropilanilina in toluen folosind sistemul Dean-Stark in prezenta de TosOH (sus) si in acetonitril, fara catalizator (jos)

Spectroscopia RMN ^1H a fost folosita pentru a monitoriza reactia dintre aldehida **10** si 2,6-diizopropilanilina pana s-a obtinut condensarea dorita. In Figura 17 se poate vedea spectrul ^1H RMN ai produsilor acestei reactii dupa 24 de ore de reflux in toluen folosind sistemul Dean-Stark (sus) si dupa doua ore de reflux in acetonitril (jos). In primul caz prezinta rezonantelor caracteristice corespunzatoare protonilor gruparii $-\text{CHO}$ ale aldehydei (δ 10.16 ppm) si cea de la δ 3.77 ppm corespunzatoare protonilor $-\text{NH}_2$ ai 2,6-diizopropilanilinei arata ca nu s-a produs nici o reactie. Cand sinteza a fost efectuata in acetonitril, absenta rezonantelor corespunzatoare protonilor gruparilor $-\text{CHO}$ si $-\text{NH}_2$ indica transformarea completa a materiilor prime in derivatul *imino* **12** cu o rezonanta caracteristica a protonului din $-\text{CH}=\text{N}-$ la δ 8.67 ppm. In mod similar in cazul compusilor **11**, **13** si **14** spectrele RMN ^1H indica formarea legaturii duble carbon-azot prin deplasarea rezonantei corespunzatoare gruparii CH de la 10.16 ppm (aldehida) la δ 8.67 (**11**), 8.53 (**13**), 8.57 (**14**) ppm (imina).

3.2.4. Difractie de raze X pe monocristal

Cristalele adecvate difractiei de raze X au fost obtinute in cazul compusilor **5**, **7** si **11**.

Interactiuni intramoleculare de o tarie semnificativa au putut fi observate in molecula compusului **5** [$\text{N}_1\cdots\text{Se}1$ 2.713(5) si $\text{N}_2\cdots\text{Se}2$ 3.068(6) Å] [$\sum r_{\text{vdW}} (\text{Se}, \text{N})$ 3.54 Å].⁴³

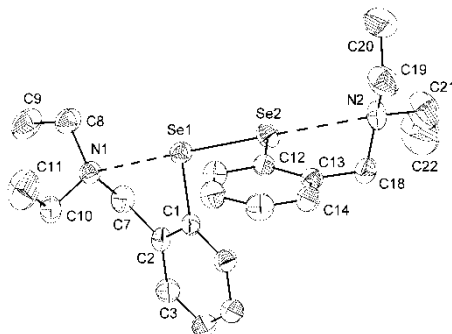


Figura 18. Diagrama ORTEP la probabilitate de 30% si schema de numerotare a atomilor pentru izomerul $[\text{R}_{\text{N}1}, \text{S}_{\text{N}2}]\text{-5}$ (atomii de hidrogen sunt omisi pentru claritate)

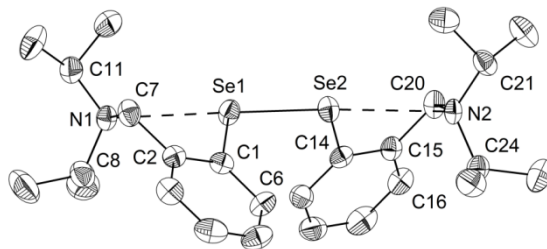


Figure 19. Diagrama ORTEP la probabilitate de 30% si schema de numerotare a atomilor pentru izomerul $[\text{S}_{\text{N}1}, \text{S}_{\text{N}2}]\text{-7}$ (atomii de hidrogen sunt omisi pentru claritate)

Coordinarea intramoleculara $\text{N}\rightarrow\text{Se}$ duce la formarea unor cicluri chelatice de cinci mebri SeC_3N , care sunt pliate dealungul axei imaginare $\text{Se}\cdots\text{C}_{\text{metilen}}$, cu atomii de azot iesiti din planele SeC_3 . Acest fapt induce chirality planara cu atomul de azot ca si atom pilot si ciclul aromatic cu rolul de plan chiral, similar cu alte diseleniuri intalnite in literatura. Ca si consecinta a chirality planare, compusul cristalizeaza ca si amestec racemic compus din amestec 1:1 ai izomerilor $(\text{R}_{\text{N}1}, \text{S}_{\text{N}2})$ si $(\text{S}_{\text{N}1}, \text{R}_{\text{N}2})$, considerand cele doua cilcuri chelatice ale unitatii moleculare.

Ca si rezultat al coordinarii puternice intramoleculare $\text{N}\rightarrow\text{Se}$ in **7** [$\text{N}_1\cdots\text{Se}1$ 2.955(6) si $\text{N}_2\cdots\text{Se}2$ 2.958(5) Å] geometria in jurul ambilor atomi de seleniu este de forma T distorsionata. Compusul **7** cristalizeaza ca si amestec racemic compus din amestec 1:1 ai izomerilor $(\text{S}_{\text{N}1}, \text{S}_{\text{N}2})$ si $(\text{R}_{\text{N}1}, \text{R}_{\text{N}2})$, considerand cele doua cilcuri chelatice ale unitatii moleculare.

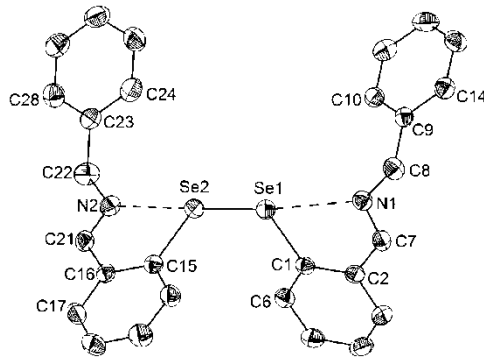


Figure 20. Diagrama ORTEP la probabilitate de 30% si schema de numerotare a atomilor pentru **11** (atomii de hidrogen sunt omisi pentru claritate)

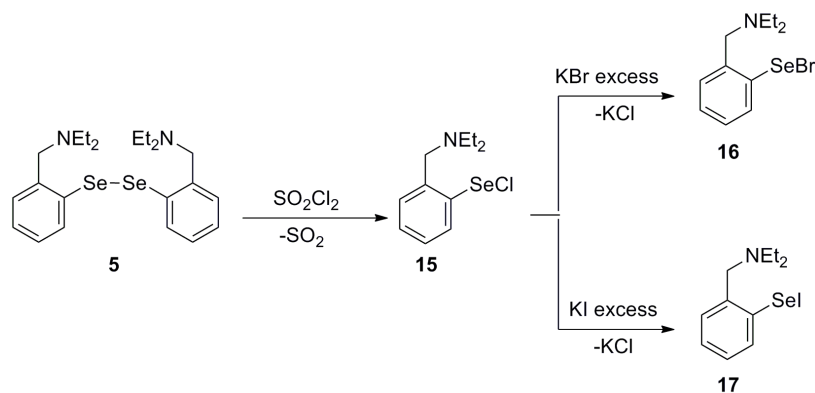
Interactiunile intramoleculare puternice azon-seleniu in moleculea compousului **11** [$\text{N}1\cdots\text{Se}1$ 2.795(2) si $\text{N}2\cdots\text{Se}2$ 2.650(2) \AA] sunt similare cu cele observate in cazul compusilor **5** si **7**.

Compusul **11** cristalizeaza ca si diastereoizomerul *E* luand in considerare ambele legaturi duble $-\text{C}=\text{N}-$. Suma unghiurilor in jurul atomilor de azot [360.0(2) $^{\circ}$ pt. N1 si 359.6(2) $^{\circ}$ pt. N2] rezulta din geometria trigonală planară datorata hibridizării sp^2 ai atomilor de azot. Deasemenea ciclul chelatic de cinci membri format prin coordinare intramoleculară este planar. In consecinta chirilitatea planară observată in derivatii *amino* **5** si **7** este absenta in cazul derivatului *imino* **11**.

3.3. Halogenuri seleniu-organice

3.3.4. Preparare

[2-($\text{Et}_2\text{NCH}_2\text{C}_6\text{H}_4$) SeCl] (**15**) a fost preparat prin scindarea oxidativa a legaturii Se-Se din **5** cu cantitate stoechiometrică de clorura de sulfuri conform reactiei din Schema 28.



Schema 28.

3.3.5. Spectroscopie RMN

Comportamentul in solutie al halogenurilor seleniu-organice a fost investigat prin spectroscopie RMN multinucleara. Spectroscopia RMN ^1H confirma structurile propuse pentru acestia. In toate cazurile rezonantele observate sunt deplasate fata de cele observate pentru materia prima **5**. Spectrele RMN ^1H NMR a clorurii **15**, bromurii **16** si iodurii **17** sunt ilustrate in Figura 24.

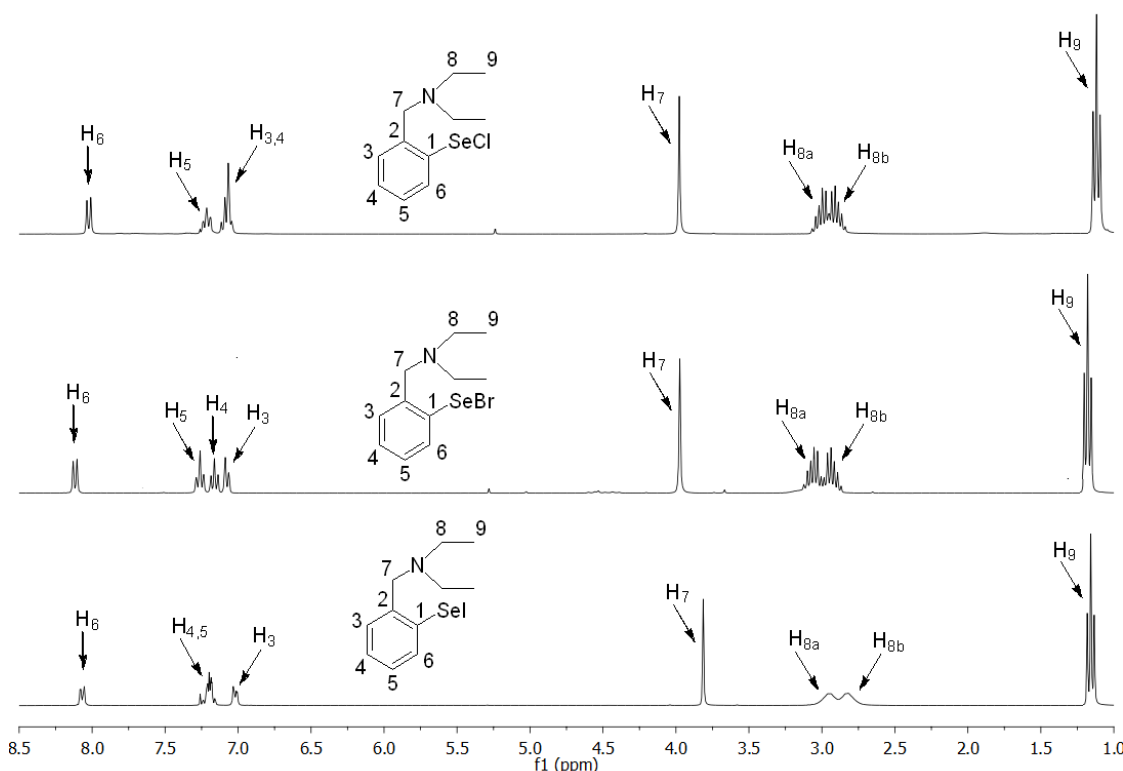


Figura 24. Spectrele RMN ^1H NMR pt. **15** (sus), **16** (mijloc), **17** (jos)

In zona aromatica a celor trei halogenuri putem observa un semnal foarte dezecranat corespunzator hidrogenilor in pozitia *ortho* fata de seleniu. Protonii H₃, H₄, si H₅ sunt grupati diferit in toate din cele trei cazuri. Este de mentionat ca in cazul bromurii **16** toti protonii aromatici neechivalenți au rezonante corespunzatoare bine definite.

Un aspect interesant in zona alifatica a spectrelor RMN ^1H este ca protonii metilenici ai gruparii etil legate de azot nu sunt echivalenți. Ca si consecinta un tipar complex de tipul complex ABX poate fi observat pentru acești protoni diastereotopici. Pentru o mai bună înțelegere a acestui tipar o interpretare teoretică a fost propusă și au fost efectuate simulații pentru protonii din poziția 8 ai copusilor **15** și **16**.

3.3.6. Difractie de raze X pe monocrystal

Cristale adecate pentru difractie de raze X pe monocrystal au fost obtinute prin difuzie de n-hexan intr-o solutie de CH_2Cl_2 atat in cazul compusului **15** cat si in cazul compusului **16**. Atat clorura **15** cat si bromura **16** cristalizeaza cu doua molecule foarte similare independente in celula elementara (**15a** / **b**, respectiv **16a** / **b**) astfel in discutiile urmatoare ne vom referi doar la **15a** si **16**. Structurile moleculare sunt ilustrate in Figurile 25 si 26. Distante si unghiuri interatomice importante sunt date in Tabelul 15.

Atat in molecula compusului **15** cat si in molecula compusului **16** se poate observa o coordinare intramoleculara puternica a atomului de azot din bratul pendant la atomul de seleniu, *trans* fata de legatura seleniu-halogen [$\text{N}(1)\text{--Se}(1)\text{--Cl}(1)$ $175.45(9)^\circ$ in **15a**; $\text{N}(1)\text{--Se}(1)\text{--Br}(1)$ $175.53(9)^\circ$ in **16a**].

Geometria de coordinare in jurul nucleului $(C,N)\text{Se}X$ este de forma de T distorsionata ($X = \text{Cl}, \text{Br}$) astfel compusii **15** si **16** putand fi descrisi ca si specii neutre hipervalente $10\text{-Se-}3$.^{130, 131}

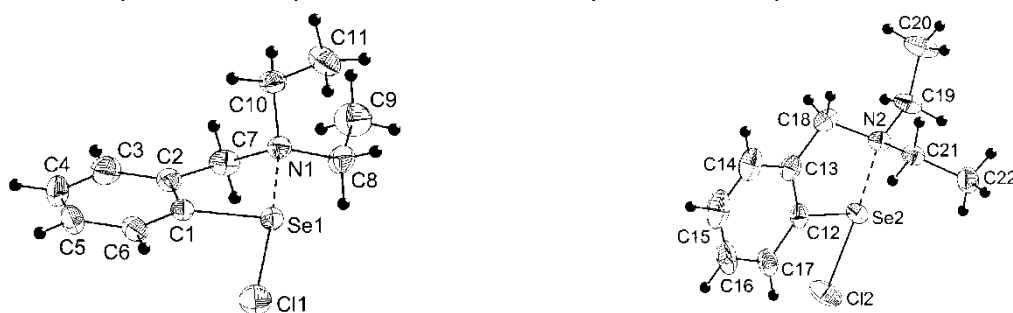


Figura 25. Diagrama ORTEP la probabilitate de 30% si schema de numerotare a atomilor pentru izomerii $R_{\text{N}1}\text{-15a}$ (stanga) si $R_{\text{N}2}\text{-15b}$ (dreapta)



Figura 26. Diagrama ORTEP la probabilitate de 30% si schema de numerotare a atomilor pentru izomerii $S_{\text{N}1}\text{-16a}$ (stanga) si $R_{\text{N}2}\text{-16b}$ (dreapta)

Deviația de la unghiul $\text{N}-\text{Se}-\text{X}$ ideal de 180° este datorata conformatiilor datorate coordinarii bratului pendant. Taria coordinarii intramolecular N \rightarrow Se [$\text{Se}(1)\text{--N}(1)$ $2.182(3)$ Å in

15a; 2.179(3) Å in **16a**] [$\Sigma r_{vdW}(\text{Se}, \text{N})$ 3.54 Å]⁴³ Error! Bookmark not defined. pare sa fie afectata nesemnificativ de halogenul legat de seleniu. Aceste interactiuni sunt un pic mai slabe decat in compusi similari [2-(Me₂NCH₂)C₆H₄]SeX (Se–N 2.137(2) Å⁴⁸, 2.135(4) Å⁴⁷ pt. X = Cl; 2.143(6) Å pt. X = Br²⁰). Lungimea legaturilor seleniu-halogen in **15** [Se(1)–Cl(1) 2.4338(15) Å] si **16** [Se(1)–Br(1) 2.5674(7) Å] este similara cu cea observata in compusi similari [2-(Me₂NCH₂)C₆H₄]SeX (Se–Cl 2.471(2) Å⁴⁸, Error! Bookmark not defined. 2.4757(7) Å⁴⁷; Se–Br 2.634(1) Å²⁰). Precum ne-am fi asteptat pentru un sistem 3c–4e, aranjamentul linear a unitatii the N→Se–X duce la o elongare a legaturii seleniu-halogen in comparatie cu cele observate in halogenurile seleniu-organice [2,4,6-Me₃C₆H₂]SeX [Se–Cl 2.186(1) Å, Se–Br 2.335(1) Å].¹³²

Cristalele compusilor **15** si **16** contin amestec de 1:1 ai izomerilor (*R*_{N1})-**15a** / (*S*_{N1})-**15a** si (*R*_{N2})-**15b** / (*S*_{N2})-**15b** si (*R*_{N1})-**16a** / (*S*_{N1})-**16a** si (*R*_{N2})-**16b** / (*S*_{N2})-**16b**.

Interactiuniile intra- si intermoleculare halogen-hidrogen au fost observate in cazul compusilor **15** si **16**. Interactiunea intramoleculara halogen-hidrogen puternica este indubabil rezultatul coordinarii intramolecularare N→Se ce aduce hidrogenul aromatic in pozitia *ortho* fata de seleniu in proximitatea halogenului din unitatea moleculara [Cl(1)…H(6) 2.61 Å in **15a**; Br(1)…H(6) 2.77 Å in **16a**].

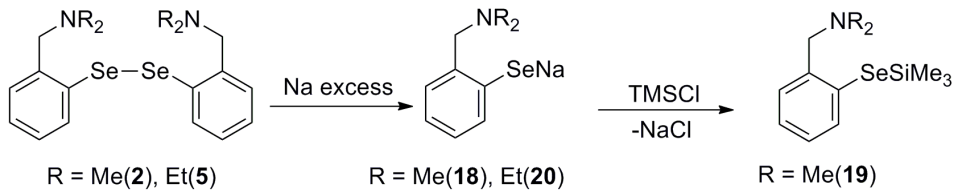
In cazul aductului **15**·HCl atomul de azot este protonat [atomul H1 a fost localizat din harta de densitate electronica] astfel acesta nu interactioneaza cu seleniul. Atomii de clor sunt legati de seleniu in *trans* unul fata de celalat [Cl1–Se1–Cl2 176.71(4)°]. Sistemul Cl1–Se1–Cl2 este asimetric, prezinta celui de-al doilea atom de halogen legat de calcogen la o distanta relativ mare [Se1–Cl2 2.6078(13) Å] ducand la scurtarea semnificativa a legaturii Se1–Cl1 [2.3021(13) Å] in comparatie cu valoarea observata pentru **15** [Se1–Cl1 2.4338(15) Å]. Aductul **15**·HCl poate, deci descris ca si compus *zwitterionic* de tipul [2-{Et₂N⁺(H)CH₂}C₆H₄]SeCl₂⁻, cu un miez CSeCl₂ cu geometrie de forma T distorsionata (specie ionica, hipervalenta 10-Se-3^{130, 131}). O legatura de hidrogen Cl2…H1 [2.30(2) Å] este formata intramoelcular care este responsabila pentru distanta mare Se1–Cl2, in comparatie cu lungimea legaturii Se1–Cl1, si pentru asimetria sistemului Cl–Se–Cl.

3.4. Selenolati de metale

3.4.1. Precursori seleniu-organici

3.4.1.1. Preparare

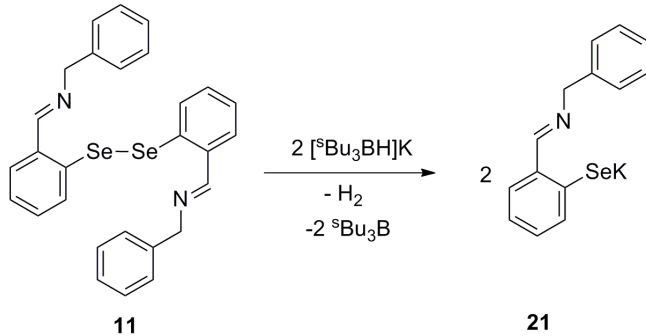
Selenolatii de sodiu **18** si **20** au fost preparati prin scindarea reductiva a legaturii seleniu-seleniu din compusii **2** si **5**, cu sodiu elemental. In acest scop o solutie in THF a diseleniurii corespunzatoare a fost adaugata pe o oglinda de sodiu in mediu inert. Selenolatii **18** si **20** obtinuti in acest fel au fost izolati cu randament mare ca si solide incolore.



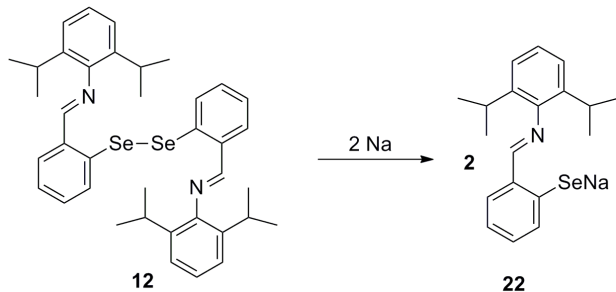
Schema 29.

Derivatul trimetilsiliciu **19** a fost preparat prin reactia de metateaza intre selenolatul de sodiu **18** si clorura de trimetilsiliciu in proportie de 1 : 1. Dupa separarea clorurii de sodiu rezultante, produsul a fost izolat cu randament foarte bun ca si un solid alb semi-solid.

Selenolatul de potasiu **21** a fost preparat prin scindarea reductiva a legaturii seleniu-seleniu din diseleniura corespunzatoare **11** folosind doi echivalenti molari de tri-sec-butil hidroborat de potasiu (K-Selectride) (Schema 30).



Schema 30.



Schema 31.

O reducere pe oglinda de sodiu a fost incercata si in cazul compusilor **11** si **12** dar rezultatele au fost neasteptate si ele vor fi discutate separat in Capitolul 3.5 din prezenta teza.

Diseleniura **12** a fost redusa cu succes folosind o cantitate stoechiometrica de nisip de sodiu (Schema 31).

3.4.1.2. Spectroscopie RMN

Spectrele RMN ^1H au fost inregistrate in THF-d8 pentru selenolatii **18**, **20**, **21** si **22** si in C_6D_6 pentru compusul **19**. Spectrele RMN ^{13}C NMR su fost inregistrate pentru compusii **18-20**.

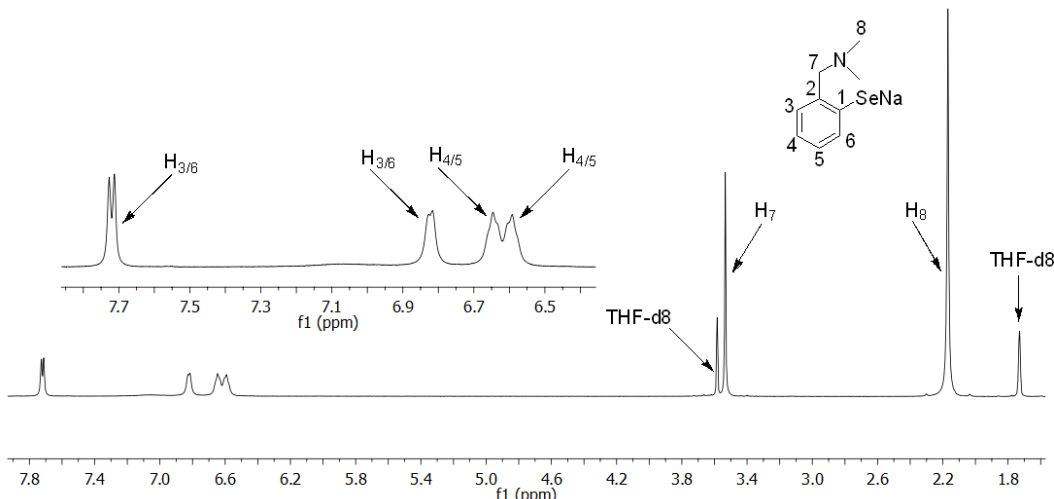


Figura 35. Spectrul RMN ^1H al $[2-(\text{Me}_2\text{NCH}_2)\text{C}_6\text{H}_4]\text{SeNa}$ (**18**)

Figura 35 ilustreaza spectrul RMN ^1H NMR al $[2-(\text{Me}_2\text{NCH}_2)\text{C}_6\text{H}_4]\text{SeNa}$ (**18**). In zona aromatica putem observa doua rezonante singlet corespunzatoare protonilor metilici (δ 2.17 ppm) si metilenici (δ 3.53 ppm). Zona alifatica a spectrului RMN ^1H a compusului $[2-(\text{Me}_2\text{NCH}_2)\text{C}_6\text{H}_4]\text{SeSiMe}_3$ (**19**) (Figura 36) prezinta un tipar similar cu cel observat pentru compusul **18** avand in plus un semnal foarte ecranat corespunzator hidrogenilor gruparilor metil ai fragmentului de trimetilsiliciu.

Selenolatul de potasiu **21** a fost caracterizat prin spectroscopie RMN ^1H in THF-d8 (Figura 39).

Pentru a evita reducerea gruparii *imino*, legatura seleniu-seleniu in $\{[(2,6-\text{iPr}_2\text{C}_6\text{H}_4)\text{NCH}]\text{C}_6\text{H}_4\}_2\text{Se}_2$ (**12**) a fost redusa cu o cantitate stoechiometrica de nisip de sodiu. Reactia a fost monitorizata prin spectroscopie RMN in THF-d8. Figura 40 ilustreaza spectrul ^1H a diseleniurii de pornire **12** (sus) si a selenolatului de sodiu format **22** (jos).

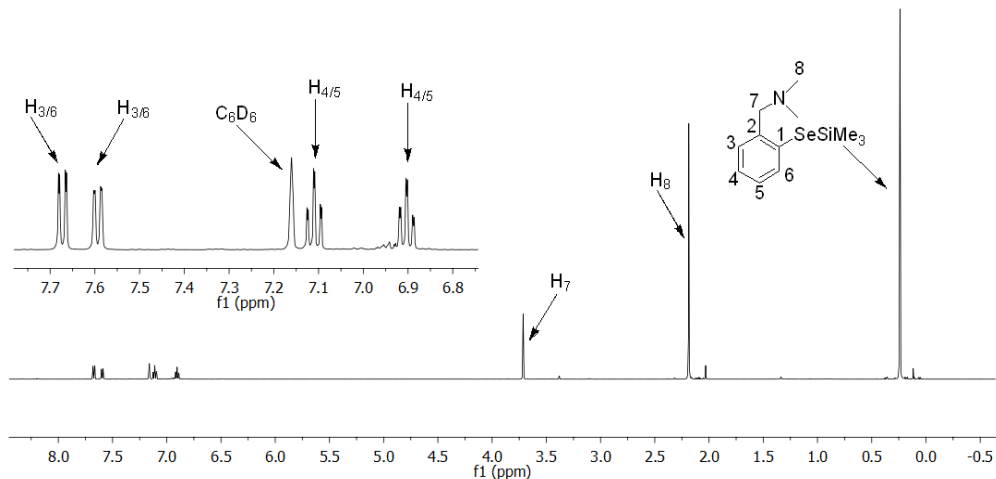


Figura 36. Spectrul RMN ^1H al $[\text{2-(Me}_2\text{NCH}_2)\text{C}_6\text{H}_4]\text{SeSiMe}_3$ (**19**)

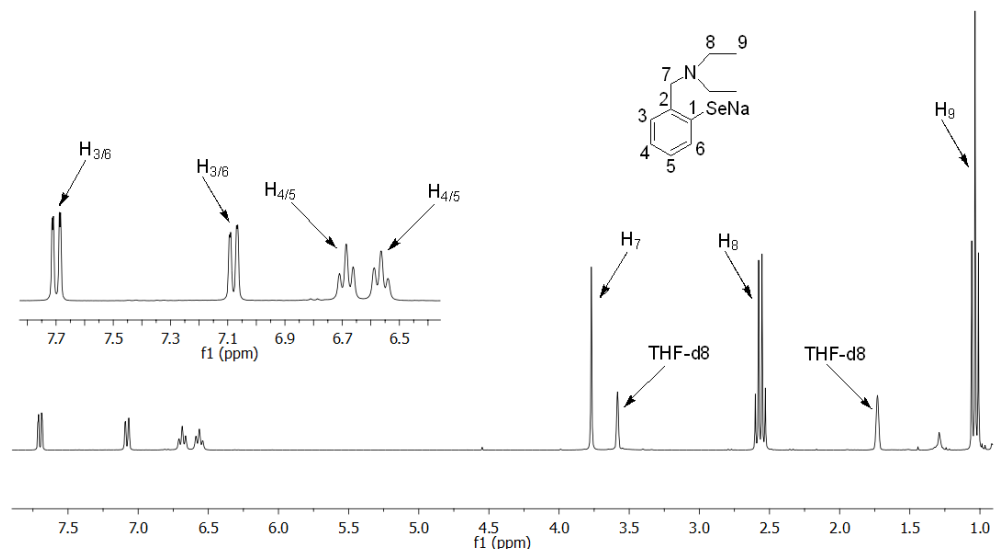


Figura 37. Spectrul RMN ^1H al $[\text{2-(Et}_2\text{NCH}_2)\text{C}_6\text{H}_4]\text{SeNa}$ (**20**)

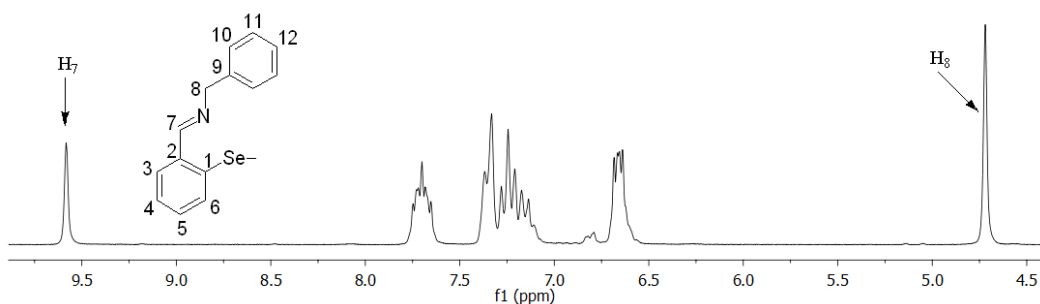


Figura 39. Spectrul RMN ^1H al **21** in THF-d₈

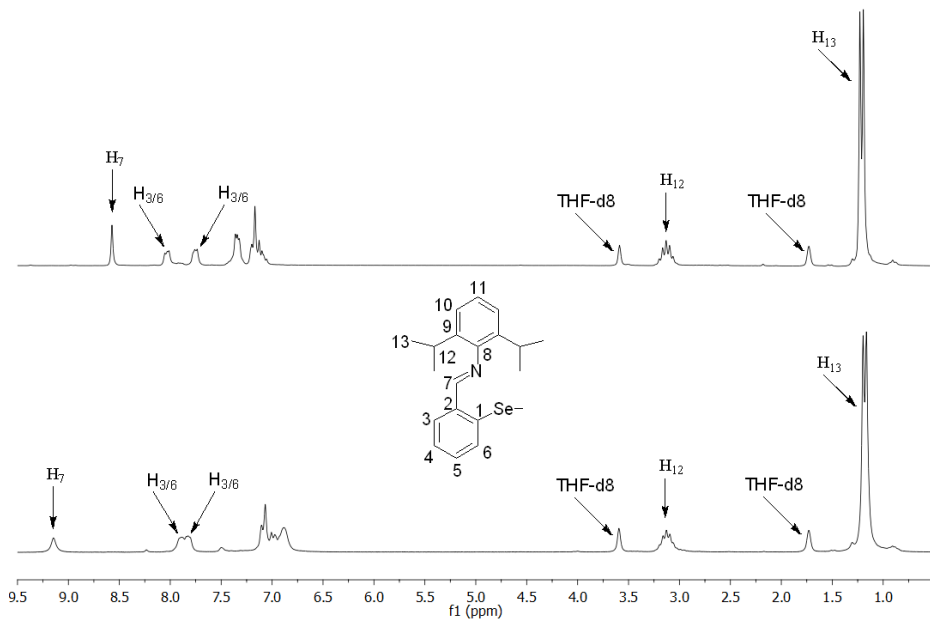
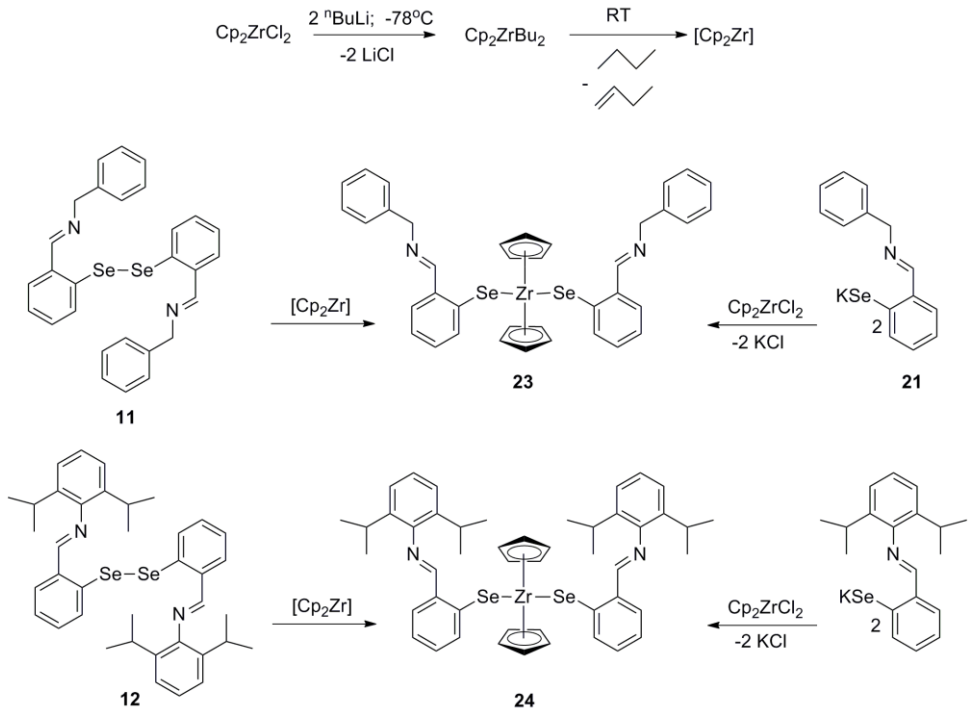


Figura 40. Spectrul RMN ¹H al **12** (sus) si al selenolatului **22** (jos)

3.4.2. Selenolati de zirconiu

3.4.2.1. Preparare



Schema 32.

Pentru prepararea selenolatilor de zirconocen doua cai sintetice au fost abordate. Prima abordare consta in scindarea legaturii seleniu-seleniu a unei diseleniuri cu compusul de Zr(II), $[Cp_2Zr]$ preparat *in situ*. A doua metoda de sinteza consta din reactia de metateza intre Cp_2ZrCl_2 si selenolatii de potasiu corespunzatori.

Zirconocenul a fost preparat prin reactia a Cp_2ZrCl_2 cu doi echivalenti de butillitiu la temperatura joasa, urmata de eliminarea reductiva de doua grupari butil (in forma de butan si butena) la incalzirea amestecului de reactie la temperatura camerei (Schema 32).

Solidele de culoare maron inchis rezultate, **23** si **24**, sunt extrem de sensibile la actiunea aerului. Orice incercare de purificare sau recristalizare a acestora a dus la descompunerea lor.

3.4.2.2. Spectroscopie RMN

Selenolatii de zirconocen **23** si **24** su fost caracterizati prin spectroscopie RMN 1H in C_6D_6 . Figura 41 ilustreaza spectrul RMN 1H al compusului **23** obtinut prin sinteza *directa* (sus) si folosind reactia de metateza (jos). Este clar din aceste spectre din sinteza care foloseste $[Cp_2Zr]$ rezulta un compus cu puritate net superioara. Cea mai ecranata rezonanta la δ 4.63 ppm corespunde protonilor metilenici din gruparea benzil. Rezonanta singlet la δ 5.55 ppm este datorata celor zece protoni echivalenti ale gruparilor ciclopentadienil. Cele doua rezonante multiplet din zona aromatica corespund protonilor $H_{3/6}$ ale cyclurilor C_6H_4 , iar cea mai dezecranata rezonanta observata in zona aromatica corespunde hidrogenilor H_7 .

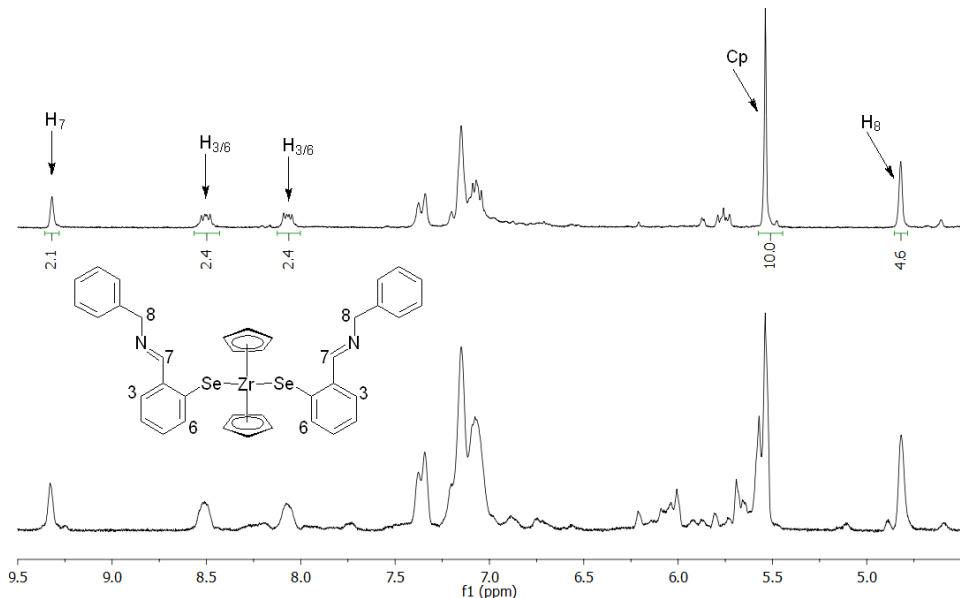


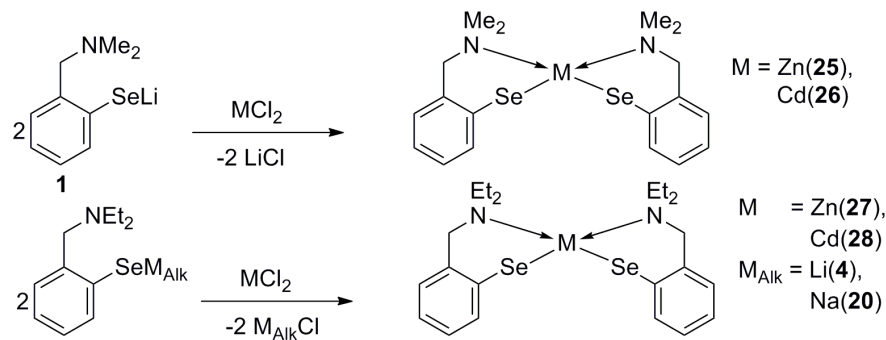
Figura 41. Spectrele RMN 1H NMR ale compusului **23** obtinut prin sinteza *directa* (sus) si folosind reactia de metateza (jos).

Prin spectrele RMN prezentate in Figura 41 putem conculde fara dubii ca produsul celor doua reactii este identic. Deasemenea se pare ca prin metoda *directa* se obtine un compus cu puritate mai mare datorita controlului mai bun asupra stoechiometriei reactiei in acest caz.

3.4.3. Selenolati ai metalelor din grupa 12

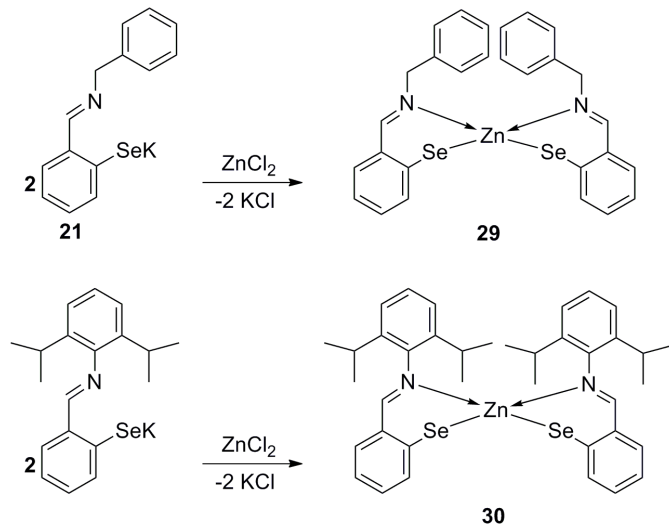
3.4.3.1. Preparare

Selenolatii de Zinc(II) si cadmium(II) **25-30** au fost preparati prin reactii de metateza intre MCl_2 anhidru si doi echivalenti de selenolati de metal alcalin corespunzator (Schema 33).



Schema 33.

Pentru prepararea compusilor **25**, **26** si **28** au fost preparati folosind selenolati de litiu, iar compusul **27** a fost preparat folosind selenolatul de sodiu **20**.



Scheme 34.

Selenolatii de zinc **29** si **30** au fost preparati pornind de la selenolatii de potasiu corespunzatori care au fost preparati la randul lor prin metoda descrisa in capitolul 3.4.1.1. Solidele verzi-galbui sunt sensibile la actiunea aerului, ele descompunandu-se in diseleniurile corespunzatoare in cateva ore.

3.4.3.2. Spectroscopie RMN

Figura 43 ilustreaza spectrele RMN ^1H si ^{13}C inregistrate la temperatura camerei pentru selenolatul de zinc **25**. Ca rezultat al coordinarii intramolecular N \rightarrow Zn in solutie cei doi protoni ai gruparii metilen dau nastere unui sistem de spin AB format din doua rezonante dublet la δ 3.14 si 4.07 ppm.

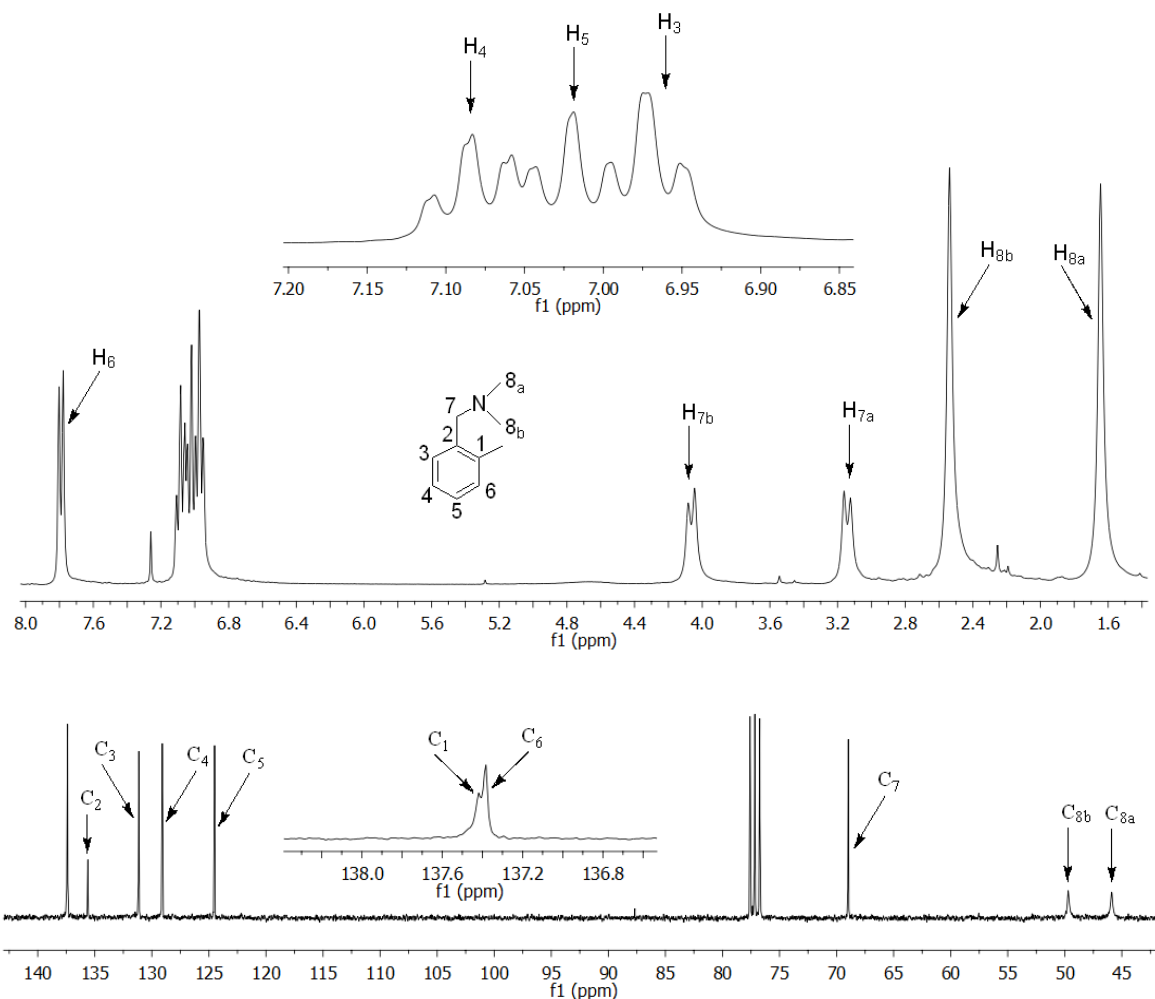


Figura 43. Spectrele RMN ^1H si ^{13}C NMR ai compusului **25**

Deasemenea cele doua grupuri metil legate de azot sunt neechivalente avand ca si rezonante corespunzatoare doua rezonante singlet la δ 1.65 si 2.54 ppm. Neechivalenta

gruparilor metil s-a putut observa deasemenea si in spectrul RMN ^{13}C al aceluiasi compus. Rezonantele corespunzatoare carbonilor C_{8a} si C_{8b} au fost observate la δ 45.91 si 49.54 ppm. Atribuirea rezonantelor in spectrele RMN ^1H si ^{13}C s-a efectuat in cazul compusului **25** cu ajutorul spectrelor de corelare COSY, HSQC si HMBC.

Spectrul RMN ^1H inregistrat la temperatura camerei pentru selenolatul de cadmiu **26** prezinta un set de rezonante late pentru protonii metilenici si metilici la δ 3.57 si 1.99 ppm. Masuratori RMN la temperatura variabila au fost efectuate pentru a estima temperatura de coalescenta si pentru a calcula entalpia libera ΔG^\ddagger_c pentru procesele dinamice corespunzatoare. Coalescenta pentru ambele tipuri de protoni a fost atinsa la -5 °C si o entalpie libera $\Delta G^\ddagger_c = 54.5 \text{ kJ mol}^{-1}$ a fost calculata folosind ecuatia Eyring.

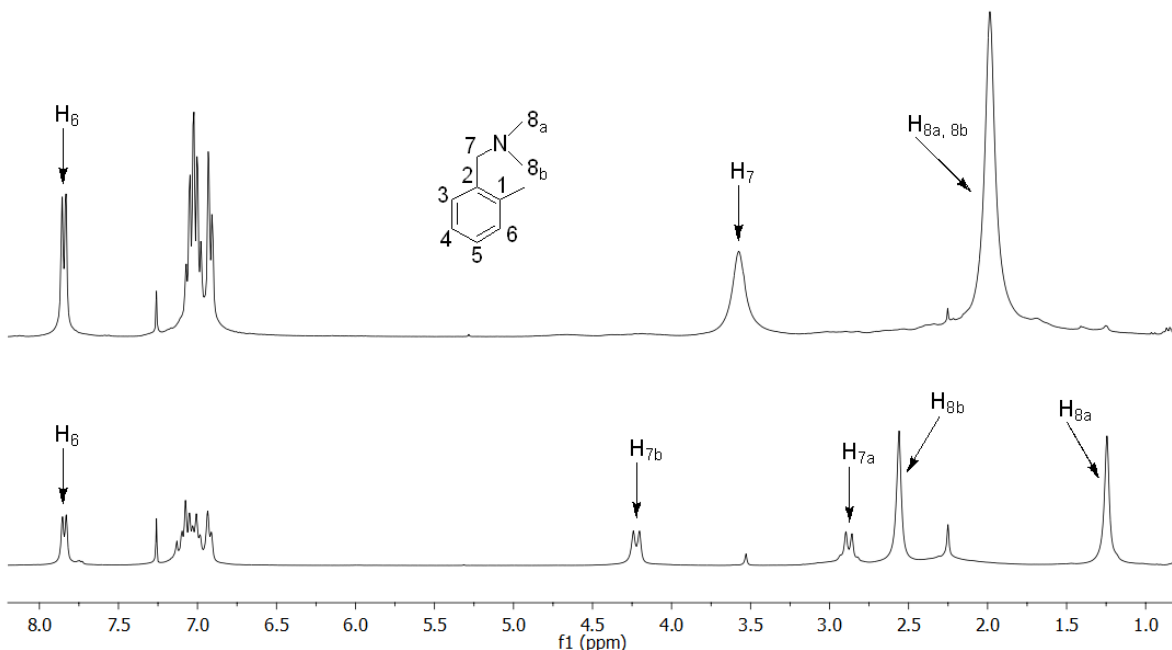


Figura 44. Spectrele RMN ^1H NMR ale compusului **26** la TC (sus) and -60 °C (down)

Spectrul RMN ^1H inregistrat la temperatura joasa pentru compusul **26** are un tipar foarte similar cu cel observat pentru compusul **25** la temperatura camerei. Rezonantele singlet de la δ 3.60 si 2.30 ppm sunt datorate prezentei diseleniuri **2** rezultate din hidroliza selenolatului **26** in timpul inregistrarii spectrelor la temperatura variabila.

In spectrele RMN ^1H inregistrate la temperatura camerei pentru compusii **27** si **28** se pot observa rezonante late pentru toti protonii alifatici, sugerand prezenta unei coordinari intramoleculare slabe N→M [M = Zn(**27**), Cd(**28**)] in solutie.

Pentru derivatul de cadmiu **26** spectrul RMN ^{13}Cd a fost inregistrat, iar in acesta a putut fi observata o singura rezonanta singlet la δ -196.2 ppm.

In zona alifatica a spectrului RMN ^1H inregistrat la temperatura camerei pentru compusul **29** (Figura 45) un sistem de spin AB poate fi observat pentru protonii metilenici ai gruparii benzil legate de azot. In zona aromatică cea mai ecranata rezonanta corespunde protonilor *ortho* (H_{10}) ale aceleiasi grupari benzil in timp ce rezonanta cea mai ecranata poate fi atribuita protonilor H_6 ale ciclului aromatic legat de seleniu.

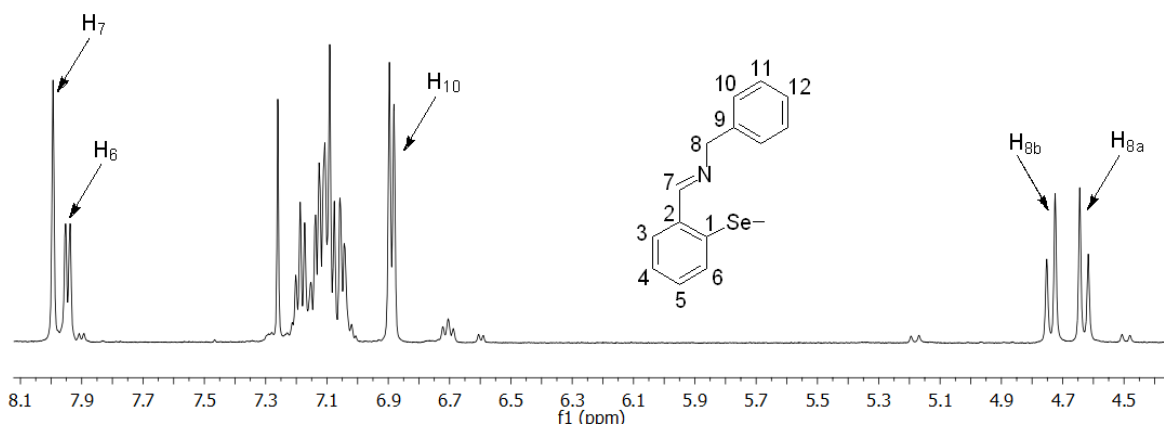


Figura 45. Spectrul RMN ^1H NMR al **29**

O rezonanta foarte caracteristica corespunde protonilor gruparilor *imino* la δ 7.99 ppm deplasata semnificativ la camp mai mare comparativ cu diseleniura **11** (δ 8.67 ppm). Experimentele RMN la temperatura variabila au fost efectuate pentru a evalua temperatura de coalescenta pentru protonii metilenici, dar ridicarea temperaturii pana la 50°C nu a fost de ajuns pentru a ajunge la coalescenta deoarece protonii $\text{H}_{8\text{a}}$ si $\text{H}_{8\text{b}}$ inca nu erau echivalenti la aceasta temperatura.

Spectrul RMN ^1H inregistrat la temperatura camerei pentru compusul **30** sugereaza existenta unui proces dinamic in solutie, facand astfel spectrul foarte dificil de interpretat. Astfel s-a recurs la efectuarea unor experimente RMN la temperatura variabila. Spectrul RMN ^1H a fost inregistrat de la -40°C la $+50^\circ\text{C}$ in incremente de 5°C pentru a identifica temperatura de coalescenta. Deasemenea spectrele ^{13}C , ^{77}Se , COSY, HSQC si HMBC au fost inregistrate la -40°C , TC si $+50^\circ\text{C}$. Spectrele RMN ^1H si ^{13}C inregistrate pentru compusul **30** la -40°C sunt ilustrate in Figura 46. Atribuirea rezonantelor in toate cazurile a fost facuta cu ajutorul spectrelor de corelare.

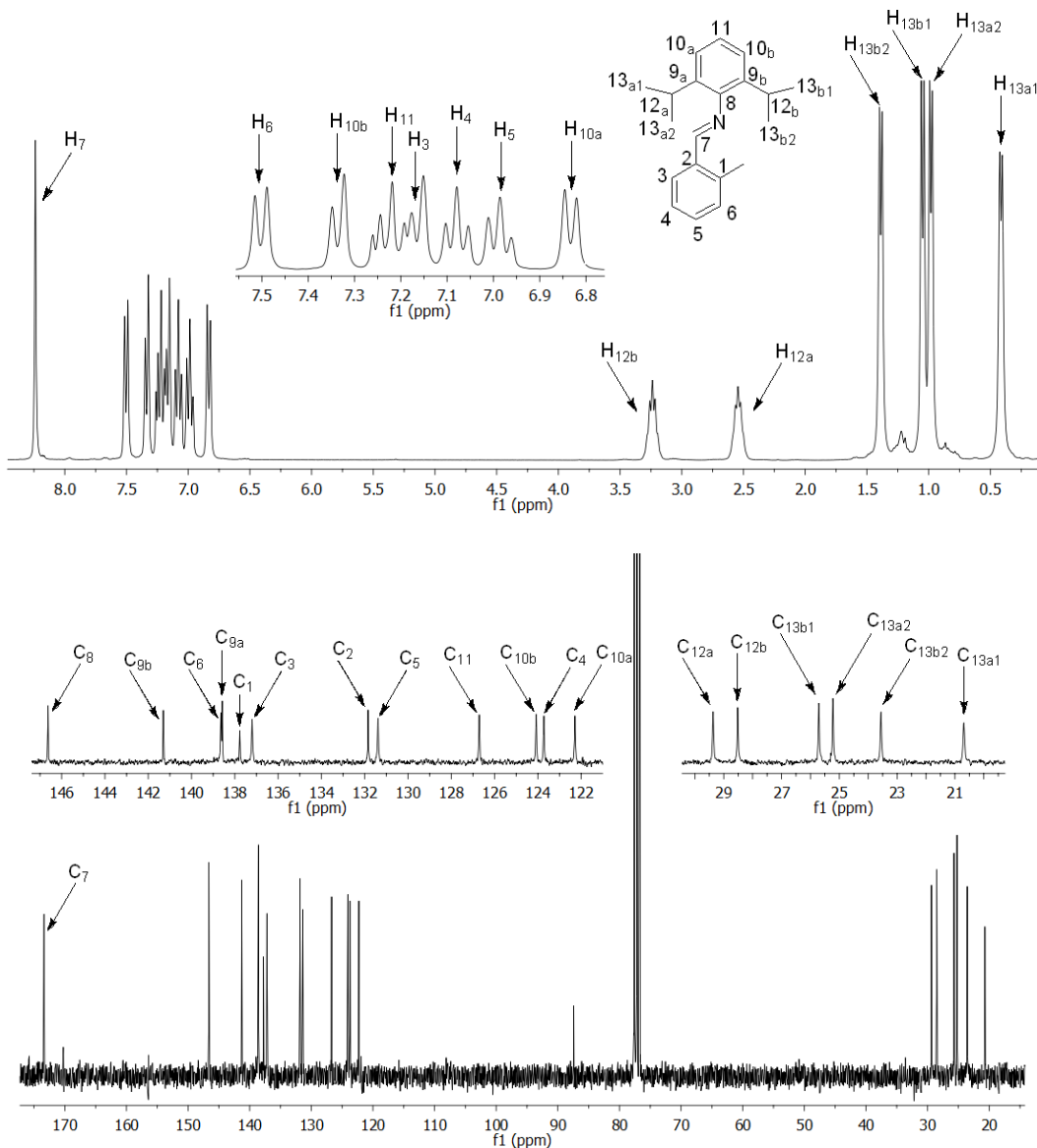


Figura 46. Spectrele RMN ¹H (sus) si ¹³C (jos) ale compusului **30** la -40 °C

Desi cei doi liganzi selenolato legati de zinc sunt identici, lipsa simetriei induse de coordinarea intramoleculara duce la neechivalenta celor doua jumatati ale gruparii 2,6-ⁱPr₂C₆H₃. La 50 °C datorita unui proces dinamic rapid care are loc in solutie, vizibil atat in spectrul RMN ¹H cat si ¹³C, toate gruparile *izopropil* devin echivalente (Figura 47).

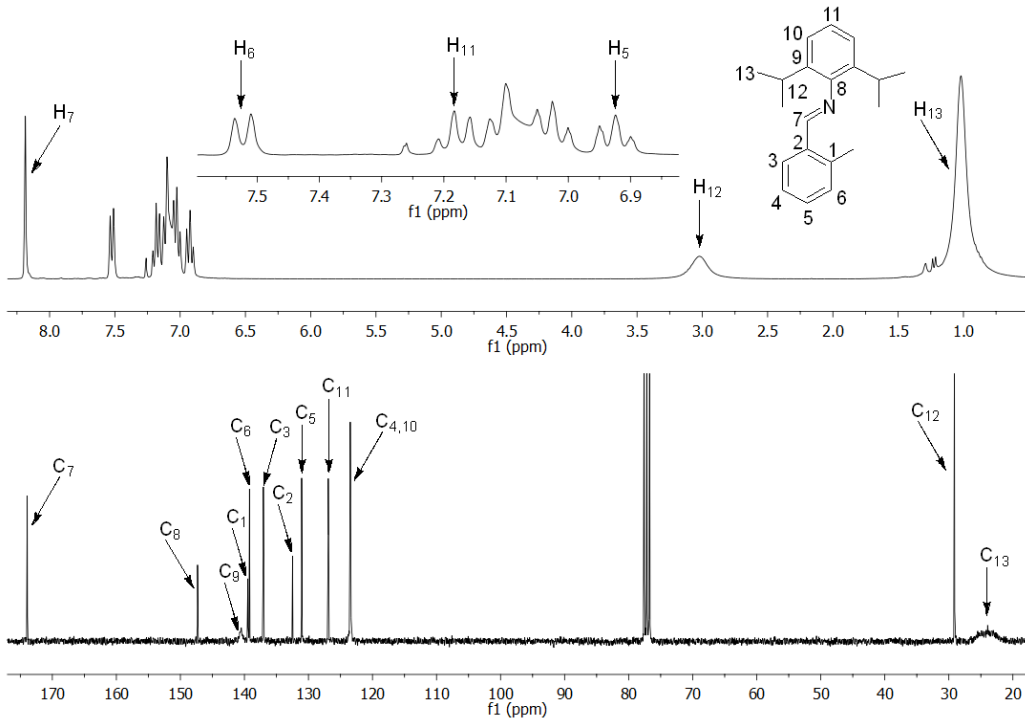


Figura 47. Spectrele RMN ¹H (sus) si ¹³C (jos) ale compusului **30** la 50 °C

3.4.3.5. Difractie de raze X pe monocristal

Cristalele adecvate pentru difractie de raze X pe monocristal au fost obtinute in cazul complecsilor **25** si **26** dintr-un amestec de CH₂Cl₂/n-hexane (1/5, v/v). Distante si unghiuri interatomice importante sunt date in Tabelul 18, iar diagramele ORTEP sunt ilustrate in Figurile 50 si 51. In cazul derivatului de cadmu **26** doua molecule independente au fost identificate in celula elementala a cristalului.

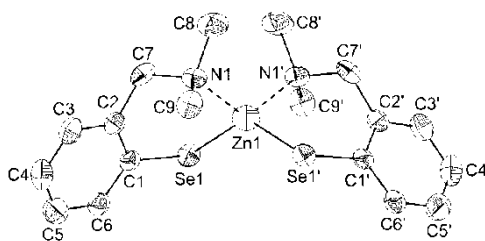


Figura 50. Diagrama ORTEP la probabilitate de 30% si schema de numerotare a atomilor pentru **11** (atomii de hidrogen sunt omisi pentru claritate) [atomii generati prin operatiuni de simetrie sunt notati cu “prim”]

Atat in compusul **25** cat si in compusul **26** grupurile selenolato se comporta ca si fragmente monometalice biconective, ele fiind legate covalent de metal prin seleniu [Zn1–Se1 2.390(2) in **25**; Cd1–Se1 2.534(1) / Cd1–Se2 2.546(1) Å in **26a** si Cd2–Se3 2.519(1) / Cd2–Se4 2.517(1) Å in **26b**] si secundar prin azot ai bratului pendant.



Figura 51. Diagrama ORTEP la probabilitate de 30% si schema de numerotare a atomilor pentru **26a** (stanga) si **26b** (dreapta) (atomii de hidrogen sunt omisi pentru claritate)

Coordinarea intramoleculara $\text{N} \rightarrow \text{Zn}$ induce chiralitate planara. Compusul **25** cristalizeaza in grupul spatial chiral $P2(1)2(1)2(1)$ (ortorombic) astfel cristalul investigat contine doar izomerul ($R_{\text{Zn}1(\text{Se}1)}, R_{\text{Zn}1(\text{Se}1')}$). In compusul **25** cei doi liganzi bidentati donori N, Se adopta o configuratie elicoidală de dreapta (Δ or P) dealungul axei moleculare $C2$ care trece prin centrul muchiei $\text{Se}1 \cdots \text{Se}1'$, atomul de Zn si prin centrul muchiei $\text{N}1 \cdots \text{N}1'$.



Figura 52. Configuratie elicoidală de dreapta (Δ or P) a compusului **25** privit dealungul axei moleculare $C2$ (stanga). Pentru comparatie un compus similar cu doi liganzi bidentati donori N, O de tip baza Schiff cu configuratie elicoidală stanga (Λ or M) este ilustrat (dreapta).¹³⁸ Doar ciclurile chelatice de sase membri sunt ilustrate pentru claritate.

Moleculele selenolatului de Cd **26** sunt similare cu analogul de Zn **25** in ceea ce priveste geometria tetraedrica in jurul atomului de metal. Datorita chiralitatii plane induse de coordinarea intramoleculara $\text{N} \rightarrow \text{Cd}$ compusul cristalizeaza ca si amestec racemic ai izomerilor ($R_{\text{Cd}1(\text{Se}1)}, R_{\text{Cd}1(\text{Se}2)}$) / ($S_{\text{Cd}1(\text{Se}1)}, S_{\text{Cd}1(\text{Se}2)}$)-**26a** and ($R_{\text{Cd}2(\text{Se}3)}, R_{\text{Cd}2(\text{Se}4)}$) / ($S_{\text{Cd}2(\text{Se}3)}, S_{\text{Cd}2(\text{Se}4)}$)-**26b**.

Diferenta principala in structurile moleculare ale celor doi compusi consta in orientarea cilcurilor aromatici in unitatea moleculara fata de planele descrise de atomii de azot si atomii metilenici. In complexul de zinc **25** cele doua cilcuri C_6H_4 sunt pe aceeasi parte a planului N_2C_2 alaturi de atomii de seleniu si de zinc, in asa fel incat orice interacțiune $\text{C}-\text{H}_{\text{metil}} \cdots \pi$ ($\text{Ph}_{\text{centroid}}$) este

imposibila [Figura 53 (stanga)]. In schimb in complexul de cadmiu **26** ciclurile aromatice sunt plasate pe partea opusa a planului N_2C_2 fata de atomii de seleniu si de cadmiu [Figure 53 (dreapta)]. Datorita acestui fapt ciclurile aromatice se apropie de gruparile metil legate de azot si astfel se formeaza interactiuni slabe C-H_{methyl}... π ($Ph_{centroid}$) [C9-H9B... $Ph_{centroid}$ (C10-C15) 2.85 Å si C18-H18C... $Ph_{centroid}$ (C1-C6) 3.03 Å pt. **26a**; C26-H26A... $Ph_{centroid}$ (C28-C33) 2.87 Å si C35-H35B... $Ph_{centroid}$ (C19-C24) 3.01 Å pt. **26b**].



Figura 53. Structurile moleculare ale **25**(stanga) si **26**(dreapta)

Cristalele adecvate pentru difractie de raze X pe monocrystal au fost obtinute in cazul compusilor **29** si **30** din amestecuri de CH_2Cl_2/n -hexan (1/5, v/v) in atmosfera inerta. Distante si unghiuri interatomice importante sunt date in Tabelul 19, iar diagramele ORTEP sunt ilustrate in Figururile 56 si 57.

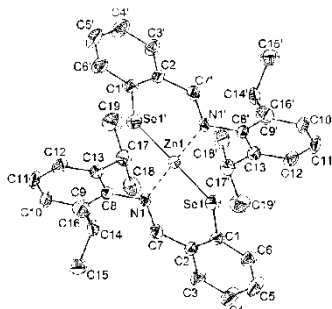


Figura 56. Diagrama ORTEP la probabilitate de 30% si schema de numerotare a atomilor pentru **29** (atomii de hidrogen sunt omisi pentru claritate) [atomii generati prin operatiuni de simetrie sunt notati cu "prim"]

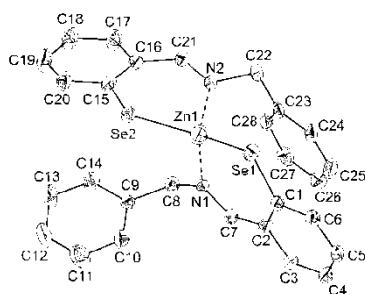


Figura 57. Diagrama ORTEP la probabilitate de 30% si schema de numerotare a atomilor pentru **30** (atomii de hidrogen sunt omisi pentru claritate)

Atat in molecula compusului **29** cat si in cea a compusului **30** liganzii selenolato se comporta ca si fragmente monometalice biconective, ele fiind legate covalent de zinc prin seleniu [Zn1-Se1 2.3563(7) in **29**; Zn1-Se1 2.352(1) / Zn1-Se2 2.366(1) Å in **30**] si secundar prin atomul de azot ale bratului pendat.

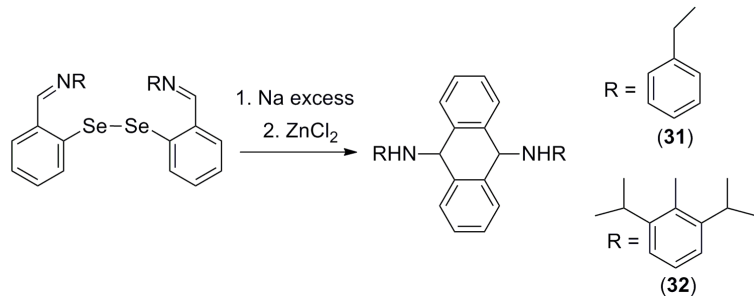
Datorita chiralitatii planare induse de coordinarea intramoleculara N→Zn compusul **29** cristalizeaza ca si amestec 1:1 ai izomerilor ($R_{Zn1(Se1)}, R_{Zn1(Se1')}$) / ($S_{Zn1(Se1)}, S_{Zn1(Se1')}$).

In molecula compusului **30** atomul de azot N1 este coplanar cu C1, C2, C7 si Se1 din cel mai bun plan C₃Se din ciclul chelatic Zn1Se1C₃N1 datorita delocalizarii legaturii duble carbon-azot din gruparea *imino* pe fragmentul N1-C7-C2-C1. Aceasta delocalizare a putut fi deasemenea observata in spectrele IR ale compusului **30**.

3.5. Produsi organici de cuplare obtinuti accidental

3.5.3. Preparare

In incercarile noastre de a obtine selenolatii de zinc **29** si **30** prin reactionarea selenolatilor de sodiu corespunzatori (obtinuti *in situ* prin reducerea diseleniurilor **11** si **12** folosind o oglinda de sodiu) cu ZnCl₂, am obtinut in mod neastpetat compusii organici **31** si **32** (Schema 35).



Schema 35.

In incercarile noastre de a explica aceste reactii, am constatat ca mai multe grupuri de cercetare au raportat reducerea unor complexe metalici ai metalelor tranzitionale cu liganzi de tip baza Schiff, cu sodiu, a dus la formarea unor legaturi noi carbon-carbon.¹³⁹⁻¹⁴⁵ Un mecanism similar a fost raportat recent pentru reducerea unui complex de samariu cu baza Schiff.¹⁴⁶

In cazul nostru observatii experimentale ne fac sa credem ca impuritatile din solventul de reactie precum peroxizii din THF ar putea juca un rol cheie in mecanismul acestor reactii.

3.5.4. Spectroscopie RMN

Spectrele RMN ^1H (Figura 60) și ^{13}C au fost înregistrate pentru compusul **32**. Prezența unei rezonante dublet în zona alifatică necorelată cu un atom de carbon în spectrul HSQC a fost dovadă reducerii grupării *imino* la *amino*. Această rezonanță a fost atribuită protonilor $-\text{NH}-$ (δ 4.14 ppm). Pentru protonul grupării vecine $-\text{CH}-$ putem observa desemenea o rezonanță dublet la δ 4.99 ppm. Din moment ce nu a putut fi observată nici o rezonanță în spectrul RMN ^{77}Se , s-a presupus că **32** nu conține seleniu.

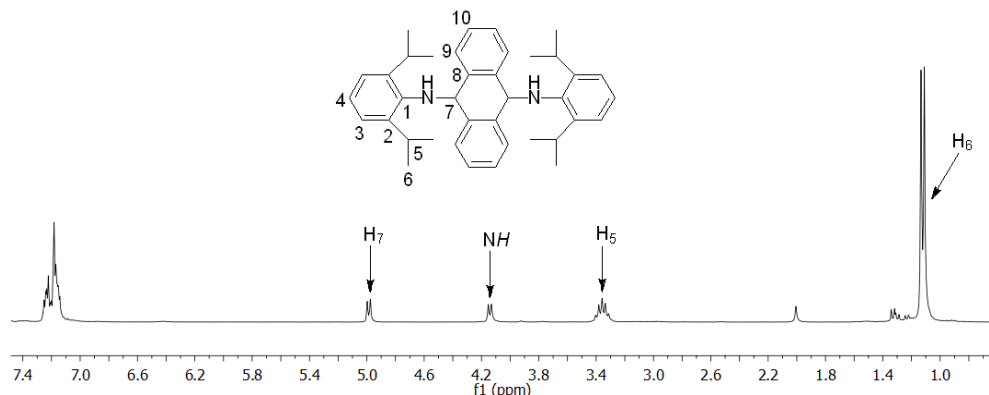


Figura 60. Spectrul RMN ^1H NMR al **32**

3.5.4. Difracție de raze X pe monocrystal

Cristalele adecvate pentru difracție de raze X pe monocrystal au fost obținute prin concentrarea, urmată de evaporarea unei soluții de acetonitril a compusului **32**. Diagrama ORTEP a acestui compus este ilustrată în Figura 63.

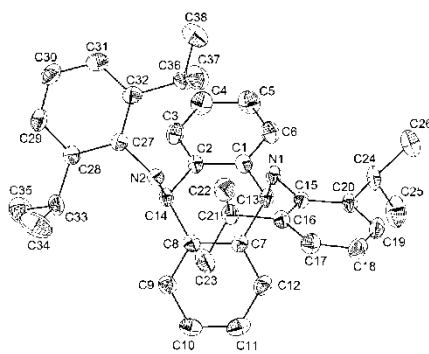


Figura 63. Diagrama ORTEP la probabilitate de 30% și schema de numerotare a atomilor pentru **32** (atomii de hidrogen sunt omisi pentru claritate)

5. Concluzii

Obiectivele noastre au fost obtinerea unor noi compusi hipervalenti de tip diorgano-diseleniu(I) si halogenuri seleniu-organice si folosirea acestora pentru prepararea selenolatilor metalelor din grupa 4 si 12.

Au fost obtinuti sase noi copusi de tipul diorgano-diseleniu(I) si investigati prin spectroscopie IR, spectroscopie RMN multinucleara mono- si bidimensională, iar pentru trei dintre acestia s-a determinat structura moleculara si cristalina prin difractie de raze X pe monocristal. S-a pus la punct o metoda generala si eficienta pentru prepararea diseleniurilor suportate de baze Schiff. Spectre RMN ^1H inregistrate la temperatura camerei nu dovedesc existenta coordinarii intramolecularare N \rightarrow Se in solutie. Echivalenta protonilor diastereotopici poate fi deasemenea rezultatul unei schimbari rapide de conformatie a ciclului chelatic ce s-ar forma prin coordinare intramoleculara sau a inversiei rapide de azot. Studiile de difractie de raze X pe monocristal au dezvaluit o geometrie de forma de T a nucleului (C,N)SeSe datorita unei coordinari intramolecularare N \rightarrow Se puternice *trans* fata de al doilea atom de seleniu. Astfel, acesti compusi pot fi considerati specii *hipervalente* 10-Se-3. In cazul derivatilor *amino* coordinarea intramoleculara N \rightarrow Se duce la aparitia chiralitatii planare. [cu ciclul aromatic C(1)–C(6) si atomul N(1) ca si plan chiral, respectiv atom pilot]. Cristalele diseleniurilor **5** si **7** contin amestecuri 1:1 ai izomerilor *R* si *S*.

A fost obtinuta o serie de halogenuri seleniu-organice si caracterizata prin spectroscopie RMN multinucleara mono- si bidimensională, iar pentru doi dintre acestia, cat si pentru un aduct cu HCl, s-a determinat structura moleculara si cristalina prin difractie de raze X pe monocristal. Spectrele RMN ^1H dezvaluie un tipar complex pentru protonii metilenici ai gruparii etil in cazul tuturor membrilor seriei. In cazul clorurii si a bromurii au fost efectuate simulari si o interpretare teoretica a fost propusa pentru acest sistem ABX complex. Studiile de difractie de raze X pe monocristal au dezvaluit o geometrie de forma de T a nucleului (C,N)SeX datorita unei coordinari intramolecularare N \rightarrow Se puternice *trans* fata de atomul de halogen. Astfel, acesti compusi pot fi considerati specii *hipervalente* 10-Se-3. Interactiuni secundare intermoleculare nu au putut fi observate. In cazul aductului **15**·HCl cu toate ca a fost absenta coordinarea intramoleculara, geometria in forma de T s-a realizat datorita legaturii aditionale Se-Cl. Pentru a o mai buna intelegera a structurii electronice a halogenurilor seleniu-organice si a rolului jucat de natura halogenului legat de seleniu la formarea sistemului N \rightarrow Se-X (X = halogen) format din trei corpuri, au fost efectuate calcule DFT si datele au fost comparate cu cele obtinute prin difractie de raze X pe monocristal.

Trei noi selenolati de sodiu, un selenolat de potasiu si un selenolat de trimetilsiliciu au fost obtinuti si caracterizati prin spectroscopie RMN multinucleara ^1H si ^{13}C . Acesteia sunt reactivi foarte buni pentru reactii de metateza cu diferite halogenuri de metale pentru a obtine

selenolatii corespunzatori ai respectivelor metale. Deasemenea a fost demonstrat ca reducerea unei diseleniuri cu tri-sec-butil hidroborat de potasiu (K-Selectrida) duce la formarea selenolatilor de potasiu corespunzatori. Reactia analoaga a unei diseleniuri cu borohidrura de sodiu duce la formarea unui anion complex de seleniu incorporand si atomul de bor din borohidrura de sodiu.

Au fost obtinuti doi selenolati de zirconocen folosind doua metode diferite in ambele cazuri. Compusii au fost investigati prin spectroscopie RMN ^1H . O investigare mai temeinica a fost imposibila datorita senzitivitatii foarte mari a acestor compusi.

Patru noi selenolati de zinc(II) si doi noi selenolati de cadmium(II) au fost obtinuti si investigati prin IR, spectroscopie RMN multinucleara mono- si bidimensională la diferite temperaturi, spectrometrie de masa, iar pentru patru dintre acestia s-a determinat structura moleculara si cristalina prin difractie de raze X pe monocrystal. Selenolatii de zinc **29** si **30** sunt primele exemple de selenolati de metale cu liganzi de tip baza Schiff avand atomul de seleniu legat covalent de centrul metalic. Experimente RMN la temperatura variabila s-au efectuat pentru compusii **26** si **30** pentru a estima temperatura de coalescenta si pentru a calcula entalpia libera ΔG^\ddagger_c pentru procesele dinamice corespunzatoare. Studiile de difractie de raze X pe monocrystal pentru compusul **25** dezvaluie faptul ca in cristalul acestui compus se gaseste doar un enantiomer din compusul cu chiralitate elicoidală. Acesta este al doilea exemplu de complex de zinc cu ligand bidentat selenolato care cristalizeaza ca si enantiomer pur. In cazul compusului **30** delocalizarea legaturii duble carbon-azot pe fragmentul N1-C7-C2-C1 are ca si consecinta planaritatea acestui fragment. Aceasta delocalizare a putut fi deasemenea observata in spectrele IR ale compusului **30**.

In incercarile noastre de a obtine selenolati de zinc au fost obtinuti accidental doi produsi organici de cuplare. Acestia au fost investigati prin spectroscopie RMN mutinucleara mono- si bidimensională

In incercarile noastre de a obtine anumiti selenolati de zinc, am obtinut neasteptat doi produsi organici de cumpare. Acestia au fost investigati prin spectroscopie RMN multinucleara mono- si bidimensională, spectrometrie de masa, iar pentru unul dintre ei s-a determinat structura moleculara si cristalina prin difractie de raze X pe monocrystal. Desi formarea similara a legaturii carbon-carbon a mai fost observata in diverse cazuri la reducerea complecsilor metalici cu sodiu metalic, mecanismele acestor reactii nu sunt inca bine cunoscute.

In majoritatea cazurilor arhitecturi suplamoleculare bazate pe interactiuni intermoleculare C-H $\cdots\pi$ ($\text{Ph}_{\text{centroid}}$) sau hidrogen-halogen au putut fi observate ducand la formare unor polimeri mono-, bi- sau tridimensionali in cristal.

Referinte:

1. J. J. Berzelius, *Fys. Kemi Mineralogi*, **1818**, 6, 42.
2. C. J. Löwig, *Pogg. Ann.*, **1836**, 37, 552.
3. J. T. Rotuck, A. L. Pope, H. E. Hanther, A. B. Swanson, D. G. Hafeman, W. G. Hoekstra, *Science*, **1973**, 197, 588.
4. Cherif F. Matta (ed.), *Quantum biochemistry*, Wiley-VCH, New York, **2010**, Ch. 20, 585, and references cited therein
5. V. N. Gladyshev, G. V. Kryukov, *Biofactors*, **2001**, 14, 87.
6. M. Uchiyama, S. Satoh, A. Ohta, *Tetrahedron Lett.*, **2001**, 42, 1559.
7. M. Tiecco, L. Testaferri, C. Santi, C. Tomassini, F. Marini, L. Bagnoni, A. Temperini, *Chem. Eur. J.*, **2002**, 8(5), 1118.
8. S. Fukuzawa, K. Takahashi, H. Kato, H. Yamazaki, *J. Org. Chem.*, **1997**, 62, 7711.
9. H. Takada, Y. Nishibayashi, S. Uemura, *J. Chem. Soc. Perkin Trans. 1*, **1999**, 1511.
10. Y. Nishibayashi, S. K. Srivastava, H. Takada, S. Fukuzawa, S. Uemura, *J. Chem. Soc. Chem. Commun.*, **1995**, 2321.
11. T. Wirth, *Tetrahedron Lett.*, **1995**, 36(43), 7849
12. T. Wirth, K. J. Kulicke, G. Fragale, *Helv. Chim. Acta*, **1996**, 79, 1957.
13. Kin-ya Akiba (Ed.), *Chemistry of Hypervalent Compounds*, Wiley-VCH, New York, **1999**.
14. C. W. Perkins, J. C. Martin, A. J. Arduengo III, W. Lau, A. Alegria, J. C. Koci, *J. Am. Chem. Soc.*, **1980**, 102, 7753.
15. H. Schiff, *Ann. Suppl.*, **1864**, 3, 343.
16. Z. Liu, W. Gao, J. Zhang, D. Cui, Q. Wu, Y. Mu, *Organometallics*, **2010**, 29, 5783.
17. A. Coulson, *Nature*, **1969**, 221, 1106.
18. K. A. R. Mitchell, *Chem. Rev.*, **1969**, 69, 157.
19. H. Bock, B. G. Ramsey, *Angew. Chem.*, **1973**, 85, 112.
20. R. Kaur, H. B. Singh, R. P. Patel, *J. Chem. Soc., Dalton Trans.*, **1996**, 2719.
21. M. Iwaoka, S. Tomoda, *Phosphorus Sulfur Silicon*, **1992**, 67, 125.
22. M. Iwaoka, S. Tomoda, *J. Am. Chem. Soc.*, **1996**, 118, 8077.
23. M. Kulcsar, A. Beleaga, C. Silvestru, A. Nicolescu, C. Deleanu, C. Todasca, A. Silvestru, *Dalton Trans.*, **2007**, 2187.
24. G. Muges, A. Panda, S. Kumar, S. D. Apte, H. B. Singh, R. J. Butcher, *Organometallics*, **2002**, 21, 884; **2001**, 123, 839.
25. G. Muges, A. Panda, H. B. Singh, N. S. Punekar, R. J. Butcher, *J. Am. Chem. Soc.*, **2001**, 123(5), 839.
26. A. Panda, G. Muges, H. B. Singh, R. T. Butcher, *Organometallics*, **1999**, 18, 1986.
27. M. Iwaoka, S. Tomoda, *J. Org. Chem.*, **1995**, 60, 5299.
28. H. Ehara, M. Noguchi, S. Sayama, T. Onami, *J. Chem. Soc., Perkin Trans. 1*, **2000**, 1429.
29. P. G. Jones, M. C. Ramirez de Arellano, *J. Chem. Soc., Dalton Trans.*, **1996**, 2713.
30. A. Panda, S. S. Zade, H. B. Singh, G. Wolmershauser, *J. Organomet. Chem.*, **2005**, 690, 3142.
31. S. Kumar, K. Kandasamy, H. B. Singh and R. J. Butcher, *New . J . Chem .*, **2004**, 28, 640.
32. G. Muges, A. Panda, H. B. Singh, R. J. Butcher, *Chem. Eur. J.*, **1999**, 5, 1411.

33. G. Mugesh, A. Panda, H. B. Singh, N. S. Punekar, R. J. Butcher, *J. Chem. Soc., Chem. Commun.*, **1998**, 2227.
34. T. Wirth, F. Gianfranco, *Chem. Eur. J.*, **1997**, 3, 1894.
35. L. A. Braga, S. J. N. Silva, D. S. Luedtke, R. L. Drekenner, C. C. Silveira, J. B. T. Rocha, L. A. Wessjohann, *Tetrahedron Letters*, **2002**, 43(41), 7329.
36. Y. Miyake, Y. Nishibayashi, S. Uemura, *Bull. Chem. Soc. Jpn.*, **2002**, 75, 2233.
37. K. Kandasamy, S. Kumar, H. B. Singh, R. J. Butcher, K. T. Holman, *Eur. J. Inorg. Chem.*, **2004**, 1014.
38. S. Kumar, S. Panda, H. B. Singh, G. Wolmershauser, R. J. Butcher, *Struct. Chem.*, **2007**, 18, 127.
39. M. Iwaoka, H. Komatsu, T. Katsuda, S. Tomoda, *J. Am. Chem. Soc.*, **2004**, 126(16), 5309.
40. M. Buehl, W. Thiel, U. Fleischer, W. Kutzelnigg, *J. Phys. Chem.*, **1995**, 99 (12), 4000
41. T. Chivers, D. D. Doxsee, R. W. Hilts, *Inorg. Chem.*, **1993**, 32 (15), 3244
42. H. Duddeck, S. Malik, T. Gati, G. Toth, M. I. Choudhary, *Magn. Reson. Chem.*, **2002**, 40(2), 153
43. J. Emsley, *Die Elemente*, Walter de Gruyter, Berlin, **1994**.
44. *IUPAC Nomenclature of Organic chemistry*, Pergamon Press, Oxford, **1979**
45. G. Mugesh, H. B. Singh, R. J. Butcher, *J. Organomet. Chem.*, **1999**, 577, 243.
46. K. Kandasamy, S. Kumar, H. B. Singh, G. Wolmershauser, *Organometallics*, **2003**, 22, 5069.
47. M. T. Klapoetke, B. Krumm, K. Polborn, , *J. Am. Chem. Soc.*, **2004**, 126(3), 710.
48. M. Kulcsar, A. Silvestru, C. Silvestru, J. E. Drake, C. L. B. MacDonald, M. E. Hursthouse, M. E. Light,
J. Organomet. Chem., **2005**, 690(13), 3217.
49. G. Mugesh, H. B. Singh, R. J. Butcher, *Tetrahedron Asymmetry*, **1999**, 10, 237.
50. P. G. Jones, M. C. Ramirez de Arellano, *Chem. Ber.*, **1995**, 128, 741.
51. G. Llabres, M. Baiwir, J.-L. Piette, L. Christiaens, *Org. Magn. Reson.*, **1981**, 15(2), 152.
52. S. M. Goldfrey, C. A. McAuliffe, R. G. Pritchard, S. Sarwar, *J. Chem. Soc., Dalton Trans.*, **1997**, 1031.
53. M. Iwaoka, H. Komatsu, S. Tomoda, *J. Organomet. Chem.*, **2000**, 611, 164.
54. G. Mugesh, H. B. Singh, R. P. Patel, R. J. Butcher, *Inorg. Chem.*, **1998**, 37, 2669.
55. D. V. Khasnis, M. Buretea, T. J. Emge, J. G. Brennan, *J. Chem. Soc. Dalton Trans.*, **1995**, 16, 45.
56. D. Liotta, W. Markiewicz, H. Santiesteban, *Tetrahedron Lett.*, **1977**, 4365.
57. D. Liotta, U. Sunay, H. Santiesteban, W. Markiewicz, *J. Org. Chem.*, **1981**, 46, 2605.
58. M. Miyashita, M. Hoshino, A. Yoshikoshi, *Tetrahedron Lett.*, **1988**, 29, 347.
59. L. Engman, J. S. E. Hellberg, *J. Organomet. Chem.* **1985**, 296, 357.
60. A. I. Wallbank, M. J. Brown, C. Nitschke, J. F. Corrigan, *Organometallics*, **2004**, 23, 5648.
61. W.-W. du Mont, S. Kubiniok, L. Lange, S. Pohl, W. Saak, I. Wagner, *Chem. Ber.*, **1991**, 124, 1315.

62. K. Ruhlandt-Senge, P. P. Power, *Inorg. Chem.*, **1991**, *30*, 3683.
63. K. Ruhlandt-Senge, P. P. Power, *Inorg. Chem.*, **1993**, *32*, 4505.
64. M. Niemeyer, P. P. Power, *Inorg. Chim. Acta*, **1997**, *163*, 201.
65. D. Burbin, M. Niemeyer, *Eur. J. Inorg. Chem.* **2008**, *36*, 5609.
66. D. B. Collum, *Acc. Chem. Res.*, **1992**, *25*, 448.
67. K.B. Sharpless, R. F. Lauer, *J. Am. Chem. Soc.*, **1973**, *95*, 2697.
68. ¹ M. Berardini, T. J. Emge and J. G. Brennan, *J. Chem. Soc., Chem. Commun.*, **1993**, 1537.
69. D. E. Gindelberger and J. Arnold, *J. Am. Chem. Soc.*, **1992**, *114*, 6242.
70. W.-F. Liaw, C.-H. Lai, C.-K. Lee, G.-H. Lee, S.-M. Peng, *J. Chem. Soc., Dalton Trans.*, **1993**, 2421.
71. M. Berardini, T.J. Emge, J.G. Brennan, *Inorg. Chem.*, **1995**, *34*, 5327.
72. F. Theobald, H. Vivier, A. Laarif, *Organometallics* **1984**, *3*, 1495.
73. O. Jeannin, M. Nomura, M. Fourmigue, *J. Organomet. Chem.*, **2007**, *692*, 4113.
74. S. Ogawa, S. Yoshimura, N. Nagahora, Y. Kawai, Y. Mikatac, R. Sato, *Chem. Com.*, **2002**, 1918.
75. N. Nagahora, S. Ogawa, S. Yoshimura, Y. Kawai, R. Sato, *Bull. Chem. Soc. Jpn.*, **2003**, *76*, 1043.
76. M. Sato, t. Yoshida, *J. Organomet. Chem.*, **1974**, *67*, 395.
77. H. Koepf, *J. Organomet. Chem.*, **1968**, *14*, 353.
78. W. A. Howard, T. M. Trnka, G. Parkin, *Inorg. Chem.* **1995**, *34*, 5900.
79. L-C. Song, C. Han, Q-M. Hu, Z.-P. Zhang, *Inorg. Chim. Acta*, **2004**, *357*, 2199.
80. W. A. Howard, G. Parkin, *J. Am. Chem. SOC.*, **1994**, *116*, 606.
81. M. Afzaal, M. A. Malik, P. O'Brien, *J. Mater. Chem.*, **2010**, *20*, 4031.
82. J. Arnold, J. M. Walker, K. M. Yu, P. J. Bonasia, A. L. Seligson, E. D. Bourret, *J. Crystal Growth*, **1992**, *124*, 647.
83. P. O'Brien, *Chemtronics*, **1991**, *5*, 61.
84. M. L. Steigerwald and C. R. Sprinkle, *J. Am. Chem. Soc.*, **1987**, *109*, 7200.
85. J. D. Brennan, T. Siegrist, P. J. Carroll, S. M. Struczynski, L. E. Brus and M. L. Steigerwald, *J. Am. Chem. Soc.*, **1989**, *1(11)*, 4141.
86. B. Krebs, G. Henkel, *Angew. Chem., Int. Ed. Engl.*, **1991**, *30*, 769.
87. P. J. Blower, J. R. Dilworth, *Coord. Chem. Rev.*, **1987**, *76*, 121.
88. H. J. Gysling, in *The Chemistry of Organic Selenium and Tellurium Compounds*, eds.
89. S. Patai, Z. Rapport, Wiley, New York, **1986**, vol. 1, ch. 18, 679-855.
90. I. G. Dance, *Polyhedron*, **1986**, *5*, 1037.
91. M. Bochmann, A.P.Coleman, A.K.Powell, *Polyhedron*, **1992**, *11*, 507.
92. M. Bochmann, K.J.Webb, M.B.Hursthouse, M.Mazid, *J. Chem. Soc., Dalton Trans.*, **1991**, 2317.
93. R.Subramanian, N.Govindaswamy, R.A.Santos, S.A.Koch, G.S.Harbison, *Inorg.Chem.*, **1998**, *37*, 4929.
94. M.A.Malik, M.Motevalli, P.O'Brien, *Polyhedron*, **1999**, *18*, 1259.
95. M. Bochmann, G. C. Bwembya, R. Grinter, A. K. Powell, K. J. Webb, M. B. Hursthouse, K. M. A. Malik, M. A. Mazid, *Inorg. Chem.*, **1994**, *33*, 2290.
96. M. Bochmann, K.J.Webb, M.B.Hursthouse, M.Mazid, *Chem.Commun.*, **1991**, 1735.

97. K.Ruhlandt-Senge, P.P.Power, *Inorg. Chem.*, **1993**, *32*, 4505.
98. D.Labahn, F.M.Bohnen, R.Herbst-Irmer, E.Pohl, D.Stalke, H.W.Roesky, *Z.Anorg.Allg.Chem.*, **1994**, *620*, 41.
99. J.J.Ellison, K.Ruhlandt-Senge, H.H.Hope, P.P.Power, *Inorg. Chem.*, **1995**, *34*, 49.
100. V.Wing-Wah Yam, Yung-Lin Pui, Kung-Kai Cheung, *J.Chem.Soc., Dalton Trans.*, **2000**, 3658.
101. Vivian Wing-Wah Yam, Yung-Lin Pui, Kung-Kai Cheung, *New. J. Chem.*, **1999**, *23*, 1163.
102. M.Yosef, A.K.Schaper, M.Froba, S.Schlecht, *Inorg. Chem.*, **2005**, *44*, 5890.
103. M.A.Malik, M.Motevalli, P.O'Brien, *Polyhedron*, **1999**, *18*, 1259.
104. M.Bochmann, G.C.Bwembya, A.K.Powell, *Polyhedron*, **1993**, *12*, 2929.
105. Young-wook Jun, Ja-Eung Koo, Jinwoo Cheon, *Chem.Commun.*, **2000**, 1243.
106. P.A.W.Dean, J.J.Vittal, *Main Group Met.Chem.*, **2002**, *25*, 697.
107. E.S.Lang, M.M.Dias, S.S.dos Santos, E.M.Vazquez-Lopez, U.Abram, *Z.Anorg.Allg.Chem.*, **2004**, *630*, 462.
108. M.W.DeGroot, J.F.Corrigan, *Angew.Chem.,Int.Ed.*, **2004**, *43*, 5355.
109. M.W.DeGroot, N.J.Taylor, J.F.Corrigan, *Inorg. Chem.*, **2005**, *44*, 5447.
110. J.G.Brennan, T.Siegrist, P.J.Carroll, S.M.Stuczynski, L.E.Brus, M.L.Steigerwald, *J.Am.Chem.Soc.*, **1989**, *111*, 4141.
111. Y. Cbeng, T. J. Emge, J. G. Brennan., *Inorg. Chem.*, **1994**, *33*, 3711.
112. K. Kandasamy, H. B. Singh, G. Wolmershauser, *Inorg. Chim. Acta.*, **2005**, *358*, 207.
113. G. Mugesh, H. B. Singh, *Inorg. Chem.* **1998**, *37*, 2663.
114. R. Kaur, H. B. Singh, R. P. Patel, S. K. Kulshreshtha, *J. Chem. SOC. Dalton Trans.*, **1996**, 461.
115. C. Santi, S. Santoro, L. Testaferri, M. Tiecco, *Synlett*, **2008**, 1471.
116. , J. P. Barrie, R. J. H. Clark, R. Withnall, D.-Y. Chung, K.- W. Kim, M. G. Kanatzidis, *Inorg. Chem.* **1994**, *33*, 1212.
117. M. A. Ansari, C. H. Mahler, G. S. Choraghade, Y.-J. Lu, J. A. Ibers, *Inorg. Chem.* **1990**, *29*, 3832.
118. K. Airola, S. Bartram, K. J. Rissanen, *Chem. Soc., Perkin Trans.*, **1995**, *1*, 895.
119. D. Bradley, N. Kurchner, *J. Chem. Phys.* **1964**, *40*, 2258.
120. D. Bradley, N. Kurchner, *J. Chem. Phys.* **1964**, *40*, 2786.
121. S. Wang, J. P. Fackler, *Inorg. Chem.* **1989**, *28*, 2615.
122. M. Bochmann, K. J. Webb, M. Harman, M. Hursthouse, *Angew. Chem., Int. Ed. Engl.*, **1990**, *29*, 638.
123. M. Bochmann, K. J. Webb, *J. Chem. SOC. Dalton Trans.*, **1991**, 2325.
124. A. L. Seligson, J. Arnold, *J. Am. Chem. SOC.*, **1993**, *115*, 8214.
125. C. Santi, S. Santoro, B. Battistelli, L. Testaferri, M. Tiecco, *Eur. J. Org. Chem.*, **2008**, 5387.
126. C. Branger, L. Garreau, Y. Frangin, S. Chalon, P. Dubois, *J. Labelled Compounds and Radiopharmaceuticals*, **1995**, *36*(7), 685.
127. Y. Makoto, A. Yoshitaka, N. Kyoto, *New J. Chem.*, **2010**, *34*(8), 1774.
128. A. L. Spek, **2005**, PLATON, A Multipurpose Crystallographic Tool, Utrecht University, Utrecht, The Netherlands.
129. W. B. Jennings, B. M. Farrell, J. F. Malone, *Acc. Chem. Res.*, **2001**, *34*, 885.

130. K. Akiba (Ed.), *Chemistry of Hypervalent Compounds*, Wiley-VCH, New York, **1999**.
131. ¹The N–X–L nomenclature system has been previously described: *N valence shell electrons about a central atom X with L ligands*. C.W. Perkins, J.C. Martin, A.J. Arduengo III, W. Lau, A. Alegria, K. Kochi, *J. Am. Chem. Soc.*, **1980**, *102*, 7753.
132. T.M. Klapötke, B. Krumm, P. Mayer, H. Piotrowski, M. Vogt, *Z. Anorg. Allg. Chem.*, **2003**, *629*, 1117.
133. M. R. Detty, M. D. Seidler, *J. Org. Chem.* **1981**, *46*, 1283.
134. M. W. DeGroot, J. F. Corrigan, In *Comprehensive Coordination Chemistry II: From Biology to Nanotechnology*; M. Fujita, A. Powell, C. Creutz, Eds., Pergamon: Oxford, **2004**, *7*, 57.
135. Dehnen, S.; Eichhofer, A.; Fenske, D. *Eur. J. Inorg. Chem.* **2002**, *2*, 279.
136. O. Crespo, M. C. Gimeno, A. Laguna, M. Kulcsar, C. Silvestru, *Inorg. Chem.*, **2009**, *48*(9), 4134
137. O. Bumbu, C. Ceamanos, O. Crespo, M. C. Gimeno, A. Laguna, C. Silvestru, m. D. Villacampa, *Inorg. Chem.*, **2007**, *46*(26), 11457
138. C. Evans, D. Luneau, *J. Chem. Soc., Dalton Trans.*, **2002**, 83.
139. D. J. Darensbourg, W. Choi, P. Ganguly, C. P. Richers, *Macromolecules*, **2006**, *39*, 4374.
140. A. F. Mason, G. W. Coates, *J. Am. Chem. Soc.*, **2004**, *126*, 16326.
141. T. R. Younkin, E. F. Connor, J. I. Henderson, S. K. Friedrich, R.H. Grubbs, D.A. Bansleben, *Science*, **2000**, *287*, 460.
142. B. D. Clercq, F. Verpoort, *J. Mol. Catal. A: Chem.*, **2002**, *180*, 67.
143. E. N. Jacobsen, *Acc. Chem. Res.*, **2000**, *33*, 421.
144. M. S. Taylor, D. N. Zalatan, A. M. Lerchner, E.N. Jacobsen, *J. Am. Chem. Soc.*, **2005**, *127*, 1313.
145. P. G. Cozzi, *Chem. Soc. Rev.*, **2004**, *33*, 410–421.
146. B-Y. Li, Y-M. Yao, Y-R. Wang, Y. Zhang, Q. Shen, *Inorg. Chem. Comm.*, **2008**, *11*, 349–352.
147. A. P. Pray, *Inorganic Syntheses*. XXVIII. New York: J. Wiley & Sons, **1990**, 321.
148. J. H. Reich, W. S. Goldenberg, B. O. Gudmundsson, A. W. Sanders, K. J. Kulicke, K. Simon, I. A. Guzei, *J. Am. Chem. SOC.*, **2001**, *123*(33), 8067.
149. A. Panda, S. C. Menon, H. B. Singh, R. J. Butcher, *J. Organomet. Chem.*, **2001**, *623*, 87.
150. E. Negishi, F.E. Cederbaum, T. Takahashi, *Tetrahedron Lett.*, **1986**, *27*, 2829.
151. G. M. Sheldrick, SHELXL-97, University of Göttingen, Germany, **1997**.
152. DIAMOND – Visual Crystal Structure Information System, CRYSTAL IMPACT: Postfach 1251, D-53002 Bonn, Germany
153. G. M. Sheldrick, SADABS, Program for Area Detector Adsorption Correction, University of Göttingen, Germany, **1996**.
154. H. Flack, *Acta Crystallogr., Sect. A*, **1983**, *39*, 876.